

معرفی و مدل‌سازی منطق بارگیری سفارشات با شکل چیدمان قابل تغییر درون خودروها و کاربرد آن در بهینه‌سازی سیستم لجستیک میلکران در گروه خودروسازی سایپا

معصوم نجفیان (دانشجوی دکتری)

دانشکده‌ی مهندسی صنایع، دانشگاه آزاد اسلامی، واحد تهران جنوب

علی حسین زاده کاشان^{*} (دانشیار)

دانشکده‌ی مهندسی صنایع و سیستم‌ها، دانشگاه تربیت مدرس، تهران

علی‌اکبر اکبری (استاد مشاور)

داوود محمدی تبار (استاد مشاور)

دانشکده‌ی مهندسی صنایع، دانشگاه آزاد اسلامی، واحد تهران جنوب

مهمنشی صنایع و مدیریت شرتف، (زمستان ۱۴۰۰)
دوری ۱۷۳، شماره ۱۰، ص. ۱۱۰-۹۱، پژوهشی

در لجستیک میلکران پالت‌های سفارشات مختلف را می‌توان با آرایش‌بندی متقاضات درون خودرو چید و بنابراین شکل چیدمان پالت‌ها درون خودروی حامل می‌تواند متغیر باشد. در نوشتر حاضر ایده‌ی بارگیری اقلام با شکل چیدمان قابل تغییر درون خودرو برای نخستین بار معرفی شده و یک مدل برآمده ریزی برای کمینه‌سازی هزینه‌ها در سیستم لجستیک میلکران را ارائه می‌شود. ملاحظاتی نظیر اعمال هزینه‌ی برگشت پالت‌های خالی، پنجره‌های زمانی و ناگان نامتجانس نیز در نظر گرفته می‌شود. یک الگوریتم استراتژی تکاملی گروه‌بندی برای حل مسئله معرفی می‌شود که از روش‌های کار برای تولید جواب و تضمین شدنی بودن بارگیری و مسیریابی خودروها استفاده می‌کند. کارایی مدل و الگوریتم معرفی شده و اثربخشی لجستیک میلکران، با استفاده از داده‌های جمع‌آوری شده از گروه خودروسازی سایپا مورد سنجش قرار می‌گیرد. استفاده‌ی توأم از لجستیک میلکران و منطق بارگیری با شکل چیدمان متغیر می‌تواند منجر به کاهش ۳۲ درصدی هزینه‌ها نسبت به استراتژی ارسال مستقیم شود.

masoum.najafian@azad.ac.ir
a.kashan@modares.ac.ir
a_akbari@azad.ac.ir
d_mohammauditabar@azad.ac.ir

وازگان کلیدی: لجستیک میلکران، استراتژی ارسال مستقیم، بارگیری و بسته‌بندی، الگوریتم استراتژی تکاملی گروه‌بندی.

۱. مقدمه

این نوع سیستم توزیع، سفارشات از تأمین‌کنندگان به مشتریان، به طور مستقیم ارسال می‌شوند. هنگامی که کل فضای بارگیری خودروی حامل تنها به یک محموله تخصیص می‌یابد، از این نوع ارسال به عنوان ارسال با بارکامل (FTL)^۱ یاد می‌شود. هنگامی که ابعاد محموله به نحوی است که نیازمند تمام فضای بارگیری خودروی حامل نیست، محموله به عنوان بارکمتر از ظرفیت کامل (LTL)^۲ شناخته می‌شود. مزیت چنین محموله‌هایی آن است که تأمین‌کنندگان می‌توانند از ظرفیت خودروی حامل به صورت اشتراکی برای ارسال این قبیل محموله‌ها استفاده کنند. دومین استراتژی ارسال، به عنوان سیستم انبارش متقاطع شناخته می‌شود که در آن محموله‌های LTL در یک گره میانی تحت عنوان بارانداز تجمعی شده و تشکیل محموله‌های FTL می‌دهند. مهمترین مزیت این سیستم آن است که منجر به کاهش موجودی و هزینه‌های حمل و نقل می‌شود. با این حال این استراتژی می‌تواند

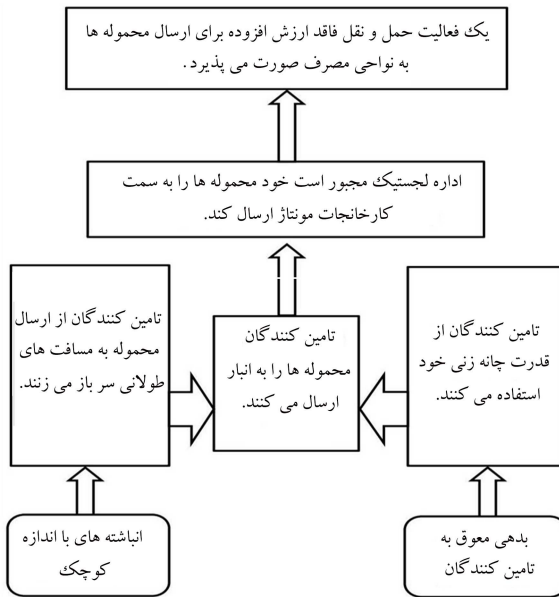
یکی از حوزه‌های مهم در عملیات لجستیک، حمل و نقل کالا در بستر زنجیره‌ی تأمین است. بر اساس گزارش محققان^[۱]، هزینه‌های توزیع نزدیک به یک سوم کل هزینه‌های لجستیکی را شامل می‌شود. بنابراین بهینه‌سازی نزدیکی توزیع یکی از مراحل مهم در طرح‌های کاهش هزینه‌های لجستیکی است. به طور کلی سه دسته شبکه‌ی توزیع وجود دارد که در بستر آنها، کالا و محصولات از بالادست زنجیره به پایین دست زنجیره جریان می‌یابد:^[۲] شبکه‌های ارسال مستقیم، انبارش متقاطع، لجستیک میلکران.

ساده‌ترین نوع ارسال محموله می‌تواند در قالب ارسال مستقیم صورت پذیرد. در

* نویسنده مسئول

تاریخ: دریافت ۲۴، ۱۳۹۹، ۱۲، اصلاحیه ۳۰، ۱۴۰۰/۸/۳، پذیرش ۲، ۱۴۰۰/۹/۲

DOI:10.24200/J65.2021.57401.2196



شکل ۱. مسائل و مشکلات لجستیکی ناشی از اقتباس رویکرد تولید بهنگام در گروه خودروسازی سایپا.

لجه‌سازی داخلی با هدف طراحی یک سیستم مبتنی بر لجستیک میلکران برای بهبود جریان قطعات به طبقی منطقی و از نقطه نظر هزینه‌ی اثربخش‌تر، مشارکت کنند. در این مقاله، تکیبی از استراتژی ارسال مستقیم و لجه‌سازی میلکران مدل‌سازی می‌شود. مدل ریاضی به گونه‌ی طراحی می‌شود که تمام ترکیبات ممکن از ارسال مستقیم و مسیرهای میلکران را در بر داشته باشد. در کنار آن مفهومی به نام بارگیری سفارشات با شکل چیدمان قابل تغییر درون خودروهای حامل معرفی و مدل‌سازی می‌شود. محدودیت‌های لازم برای پنجه‌ری زمانی سفارشات و لحاظ کردن هزینه‌های ناشی از برگشت پالت‌های فلزی نیز اعمال می‌شود. در ادبیات موضوع، مدل‌های ریاضی و روش‌های حل مختلفی برای مسئله‌ی لجه‌سازی میلکران در صنایع مختلف ارائه شده است.^[۱۲-۱۳]

سؤالاتی که در نوشتار حاضر به دنبال یافتن پاسخی برای آن هستیم عبارت‌اند از:

۱. مدل بهینه‌سازی مناسب برای سیستم توزیع میلکران در زنجیره‌ی تأمین گروه خودروسازی سایپا با در نظر گرفتن ملاحظات مریوط به توزیع قطعات، پنجه‌ری زمانی سفارشات، به ویژه ملاحظات مریوط به بارگیری سه‌بعدی پالت‌ها درون فضای بارگیری خودروهای حامل چگونه است؟

۲. رویکرد حل ابتکاری مناسب برای مسئله، به گونه‌ی که طراحی آن مطابق با ساختار مسئله بوده و از طرح نمایش و عملکردهای مناسب بهره‌برداری شود چگونه است؟ آیا می‌توان از رویکرد ترکیبی مدل ریاضی - الگوریتم ابتکاری برای حل مسئله استفاده کرد، به طوری که در تشکیل هر جواب، بخشی از متغیرهای تصمیم به صورت بهینه تنظیم شوند؟

۳. عملکرد روش معرفی شده و اثربخشی آن در عمل و در مقایسه با منطق فعالی لجه‌سازی داخلی در گروه خودروسازی سایپا (که بر اساس ارسال مستقیم سفارشات است) چگونه است؟

در ادامه‌ی این نوشتار، در بخش دوم به مرور ادبیات، نوآوری‌ها و مزیت‌های

منجر به طولانی شدن زمان‌های تحویل شود. بر خلاف سیستم انبارش متقاطع که در آن محموله‌ها در یک نقطه‌ی میانی در شبکه‌ی لجستیک دریافت شده و تجمعی می‌شوند، در سیستم توزیع میلکران محموله‌ها درون خودروی حامل و در گذر از گره‌های مختلف در شبکه‌ی لجستیک تجمعی می‌شوند. بدین ترتیب که خودروی حامل به محل چندین تأمین‌کننده برای برداشت سفارشات رجوع کرده و سپس برای تحویل آنها به یک یا چند مقصد اعزام می‌شود. سیستم لجه‌سازی میلکران تامامی مزایای سیستم LTL را دارد. از این رو به کارگیری این سیستم می‌تواند منجر به کاهش سطح موجودی‌ها، کاهش انتشار گازهای گلخانه‌یی و هزینه‌های توزیع شود. نام «میلکران» برگرفته از سیستم توزیع شیر در گذشته است: فرد مسئول جمع‌آوری و توزیع شیر، خانه به خانه به مشتریان رجوع کرده، بطری‌های شیر تازه را تحویل داده و بطری‌های خالی را در راه برگشت تحویل می‌گرفته است.^[۱۴] بسیاری از صنایع نظیر خودروسازی، از استراتژی توزیع میلکران در شبکه‌ی لجه‌سازی خود بهره برده‌اند.^[۱۵]

زنجره‌ی تأمین در صنعت خودرو یکی از پیچیده‌ترین و گستردگرین انواع زنجیره‌های تأمین است. تعداد بسیار زیادی از تأمین‌کنندگان که در نواحی جغرافیایی مختلف پراکنده شده‌اند، به تولید و ارسال هزاران قطعه‌یی می‌پردازند که در کارخانه‌های موتاز مورد استفاده قرار می‌گیرند. بنابراین، در این صنعت باید برنامه‌ریزی دقیقی در مورد لجه‌سازی داخلی و خارجی صورت پذیرد. لجه‌سازی داخلی که گستره آن به تأمین و توزیع قطعات تا خطوط موتاز محدود می‌شود، نقش حیاتی در صنعت خودرو ایفا می‌کند. زیرا بر کل فرایندهای زنجیره‌ی تأمین اثرگذار است. اختلال در این حوزه می‌تواند منجر به توقف خطوط تولید شود که این می‌تواند هزینه‌های گراف بر سیستم تحمیل کند و منجر به صدور جریمه‌های سنگین برای عامل تأخیرکننده شود. از طریق استفاده از استراتژی ارسال مستقیم، احتمال توقف خطوط موتاز کاهش می‌باید. اما در عین حال می‌توان حجم عظیمی از هزینه‌های حمل و نقل را، هنگامی که تعداد محموله‌های (LTL) (قابل توجه است، تحمیل کند. به منظور کاهش در هزینه‌ها، می‌توان میران بهره‌گیری از تسهیلات حمل و نقل را افزایش داد. هنگامی که تأمین‌کنندگان در یک ناحیه‌ی جغرافیایی، متمرکز و نزدیک به یکدیگرند و محموله‌های تولیدی آنها در مقایسه با ظرفیت خودروی حامل از حجم کمی برخوردار است، پتانسیل استفاده از سیستم لجه‌سازی میلکران وجود خواهد داشت. پژوهشگران این پتانسیل را در شرکت‌های خودروسازی توپوتا، وابستو و آنودی مطالعه کرده‌اند.^[۱۶] الگوریتم‌هایی نیز برای مسئله‌ی لجه‌سازی میلکران در سیستم توزیع قطعات ارائه است.^[۱۷]

به عنوان یکی از بزرگ‌ترین خودروسازان داخلی، گروه خودروسازی سایپا از سیستم تولید به هنگام (JIT) برای کاهش سطح موجودی در کارخانه‌های موتاز بهره می‌برد. هرچند کاهش در سطح موجودی‌ها به بهای افزایش در تواتر تحویل محموله‌هاست. تحت استراتژی ارسال مستقیم که در حال حاضر از سوی سایپا دیگته می‌شود، خودروی حامل - بعد از بارگیری محموله در محل سازنده - سفر خود را مستقیماً به سمت کارخانه موتاز آغاز می‌کند؛ بدون این که در طول مسیر هیچ‌گونه سفارش دیگری به محموله خودروی حامل اضافه شود. نتیجه‌ی این سیاست آن است که روزانه تعداد زیادی خودروی حامل با فضای نیمه پر تدد می‌کنند. تأمین‌کنندگانی که از قدرت چانه زنی بالاتری برخوردارند، از ارسال محموله‌ها به نواحی دوردست سر باز زده و مستقیماً سفارشات را به ابزارهای مرکزی سایپا ارسال می‌کنند. این رفتار می‌تواند هزینه‌های حمل و نقل اضافی و غیر ارزش‌افزا را برای ارسال از انبارهای مرکزی به سمت نقاط تقاضا تحمیل کند (شکل ۱).

ملاحظات یاد شده، نویسنده این مقاله را برآن داشته تا در پژوهه‌ی برنامه‌ریزی

جدول ۱. اطلاعات تحقیقات موجود در ادبیات موضوع.

ردیف	عنوان مقاله	نحوه زبانی	مکانیزم های پیوستگی	مکانیزم های خالقی	مکانیزم های محدود	معادله مولوں	مشکلات پار	متغیر	اطلاعه هایی	جهانی								
[۱۸]	تولید ستون	-	متجانس ✓	تک -	✓													
[۲۱]	تولید ستون	-	متجانس ✓	تک -	✓													
[۲۵]	-	-	نامتجانس ✓	چند -	✓													
[۲۶]	تولید ستون	-	نامتجانس ✓	چند ✓	✓													
[۲۷]	شاخه و برش	-	متجانس ✓	چند -	✓													
[۲۸]	شیوه سازی	-	نامتجانس ✓	تک -	✓													
	تبرید																	
[۲۹]	جستجوی ممنوعه و جستجوی با محدودیت های متغیر	-	نامتجانس ✓	تک -	چند ✓													
[۳۰]	جستجوی با محدودیت های متغیر	-	نامتجانس ✓	تک -	تک -													
[۳۱]	الگوریتم زنگنه	-	متجانس ✓	چند -	-													
[۳۲]	جستجوی با محدودیت های بزرگ	-	نامتجانس ✓	چند ✓	✓													
	تطبیق یافته																	
[۳۳]	-	-	نامتجانس ✓	تک -	چند -	✓												
[۳۴]	جستجوی ممنوعه	-	متجانس ✓	تک -	تک -	✓												
[۳۵]	جستجوی با محدودیت های بزرگ	-	نامتجانس ✓	چند -	چند -	✓												
[۳۶]	شیوه سازی	-	متجانس ✓	چند -	تک -	✓												
[۳۷]	تبرید																	
[۳۸]	جستجوی همسایگی کاهشی	-	متجانس ✓	تک -	تک ✓													
[۳۹]	الگوریتم زنگنه	-	متجانس ✓	تک -	تک -	✓												
[۴۰]	جستجوی با محدودیت های بزرگ	-	نامتجانس ✓	چند -	تک -	✓	✓	✓										
[۴۱]	مناهورسیستک	-	نامتجانس ✓	چند -	تک -	✓	-	-										
[۴۲]	برنامه ریزی	-	نامتجانس ✓	چند -	تک -	✓	✓	✓										
[۴۳]	الگوریتم زنگنه	-	نامتجانس ✓	تک -	تک ✓	-	-	-										
[۴۴]	مناهورسیستک	-	نامتجانس ✓	چند -	تک -	✓	✓	✓										
[۴۵]	شاخه و برش	-	متجانس -	تک -	تک -	✓	✓	✓										
[۴۶]	شیوه سازی	-	نامتجانس -	تک -	تک ✓	✓	-	-										
[۴۷]	تبرید																	
[۴۸]	الگوریتم زنگنه	-	متجانس ✓	تک ✓	چند ✓	✓	✓	✓										
[۴۹]	جستجوی همسایگی کاهشی	-	متجانس ✓	چند -	تک -	✓	✓	✓										
[۵۰]	مناهورسیستک	-	نامتجانس ✓	چند -	تک ✓	✓	-	-										
[۵۱]	الگوریتم ابر ابتکاری	-	متجانس ✓	تک -	تک -	✓	✓	✓										
	استراتژی تکاملی گروه بندی	-	نامتجانس ✓	چند -	چند -	✓	✓	✓										
	اقلام با شکل	-	متجانس ✓	چند -	چند -	✓	✓	✓										
	متغیر																	

رویکردهای معرفی شده در مقاله خواهیم پرداخت. تعریف دقیق مسئله و مدل سازی ریاضی آن در قالب یک مدل برنامه ریزی خطی عدد صحیح مختصات در بخش ۳ آورده می شود. در این بخش ایده ای برگیری سفارشات با شکل چیدمان قابل تغییر درون خودروهای حامل رسمیت می یابد و بر این اساس، یک مدل برنامه ریزی استراتژی معرفی می شود. در بخش ۴، یک الگوریتم استراتژی تکاملی گروه بندی به همراه الگوریتم های ابتکاری مورد نیاز برای ایجاد جواب جدید و تضمین شدنی بودن محدودیت های برگیری و مسیریابی ارائه می شود. کاری و اثربخشی مدل برنامه ریزی خطی عدد صحیح مختصات و الگوریتم استراتژی تکاملی گروه بندی در بخش ۵ مورد بررسی قرار می گیرد. در این بخش نشان خواهیم داد که لجستیک میلکران تا چه میزان می تواند نسبت به استراتژی ارسال مستقیم بهبود ایجاد کند. در انتها، تتابع حاصل از اجرای روش های ارائه شده روی دو نمونه مسئله با داده های واقعی مورد آزمون قرار می گیرد. در نهایت در بخش ۶، جمع بندی و تجزیه گیری صورت می پذیرد. در این بخش همچنین بیشتر های مدیریتی و محدودیت های تحقیق تشریح و جهت گیری برای تحقیقات آتی ارائه می شود.

۲. مرور ادبیات و بیان نوآوری تحقیق

در بطن سیستم لجستیک میلکران، فعالیت برداشت و تحويل قرار دارد. بنا بر این مسئله شناخته شده برداشت و تحويل (PDP) [۳] می تواند در قالب یک زیرمسئله در فرآیند بهینه سازی سیستم لجستیک میلکران ظاهر شود. در حال حاضر تحقیقات زیادی پیرامون مسائل برداشت و تحويل صورت پذیرفته است که از آن جمله می توان به مسائلی چون برداشت و تحويل بین مشتریان و انبار مرکزی [۱۳]، برداشت و تحويل با حمل و نقل بین مکان های برداشت و تحويل [۱۴]، برداشت و تحويل ایستا [۱۵] و برداشت و تحويل پویا [۱۶] اشاره کرد.

برای حل مسئله برداشت و تحويل با پنجره های زمانی (PDPTW) با ابعاد بزرگ، روش های فراابتکاری معرفی شده اند. [۱۹-۲۷] از جمله این روش ها می توان به الگوریتم جستجوی محلی تکراری برای مسئله برداشت و تحويل با پنجره های زمانی و برنامه ریزی نیروی انسانی با کاربرد در حوزه خدمات اورژانس [۱۴]، الگوریتم استراتژی تکاملی گروه بندی برای مسیریابی هلیکوپتر در میدان گازی پارس جنوبی [۲۰] و الگوریتم جستجوی منفع برای سیستم لجستیک شهری [۲۱] اشاره کرد. از آن جا که خودروهای حامل دارای ظرفیت، سرعت و هزینه متفاوت اند، برخی از محققین مسئله برداشت و تحويل با ناوگان نامتجانس (HVPDP) را در نظر گرفته اند. [۲۵-۲۲] مسائل مختلفی در حوزه مسیریابی وسیله های نقلیه و مسئله برداشت و تحويل وجود دارند. برخی از این تحقیقات در جدول ۱ گردآوری شده اند. در این جدول مشخصات مسائل از جمله تعداد انبارهای مرکزی، تعداد محصولات، ملاحظات مرتبه با محدودیت ظرفیت، نامتجانس یا نامتجانس بودن وسیله های نقلیه، پنجره های زمانی، وجود یا عدم وجود مدل برنامه ریزی ریاضی و نوع روش حل آمده است. وضعیت مسئله تحت بررسی از نقطه نظر این مشخصات، در جدول ۱ بررسی شده است.

در این مقاله به معرفی یک مدل برنامه ریزی خطی عدد صحیح مختصات (MILP) برای بهینه سازی مسئله استراتژی لجستیک میلکران (MRLP) در صنعت خودرو می پردازیم. مسئله در ساده ترین شکل شبیه مسئله برداشت و تحويل است. با این حال در مسئله تحت بررسی، سایر ملاحظات نظری برگیری سفارشات با

- معرفی یک مدل برنامه‌ریزی عدد صحیح مختار و نسخه خطی شده آن برای سیستم لجستیک میلکران با در نظر گرفتن ملاحظاتی نظیر بارگیری سفارشات با شکل چیدمان قابل تغییر درون خودروهای حامل، اعمال هزینه‌های تحويل پالت‌های فلزی در مسیر برگشت، وجود پنجره‌های زمانی برای سفارشات و ناوگان نامتجانس.
- اگرچه فرض وجود پنجره‌های زمانی یا ناوگان نامتجانس پیشتر در ادبیات بررسی شده است، مفهوم بارگیری سفارشات با شکل چیدمان قابل تغییر درون خودروهای حامل نخستین بار در این مقاله معرفی و مدل‌سازی می‌شود. غالب مقالات موجود در حوزه‌ی مسیریابی خودرو صرفاً محدودیت ظرفیت را در یک بعد (وزن) اعمال می‌کنند و کاری به نحوه‌ی چیدمان سفارشات درون خودروی حامل ندارند. این در حالی است که سفارشات در دنیای واقعی علاوه بر مشخصه‌ی وزن، مشخصات دیگری نظیر تعداد پالت‌ها و ابعاد آنها را دارند که برای سفارشات مختلف متفاوت است. چیدمان پالت‌ها درون فضای بارگیری خودروی حامل از آن جهت مهم است که اگرچه ممکن است محدودیت وزن رعایت شود، محمله به صورت فیزیکی قابل جای‌دهی درون خودروی حامل نیست. بر اساس رویکرد معرفی شده در این مقاله، چیدمان فیزیکی پالت‌ها درون محفظه‌ی بارگیری خودروی حامل همواره شدنی است.
- با توجه به عدم کارایی مدل برنامه‌ریزی ریاضی برای حل مسائل با ابعاد بزرگ، یک الگوریتم فرالاتکاری با عنوان استراتژی تکاملی گروه‌بندی برای حل مسئله ارائه می‌شود که مجهز به روش‌های ابتکاری کارا برای استفاده از داشت ساختاری مسئله است. الگوریتم معرفی شده از نوع Mathheuristic است که از یک رویکرد ابتکاری سازنده برای تولید جواب استفاده می‌کند که درون خود از دو زیر مدل بهینه‌سازی بهره می‌برد؛ یکی برای تعیین چیدمان بهینه پالت‌های سفارشات درون خودروی حامل و دیگری برای مسیریابی بهینه خودروی حامل. مزیت اصلی رویکرد معرفی شده آن است که همواره شدنی بودن جواب را تضمین می‌کند و بنابراین جستجو همواره در فضای شدنی صورت می‌پذیرد. این ویژگی، تأثیر بسیار چشمگیری در حفظ کارایی الگوریتم دارد.
- سیستم توزیع پیشنهادی که از تلفیق سیستم لجستیک میلکران و مفهوم بارگیری سفارشات با شکل چیدمان قابل تغییر درون خودروهای حامل، احتمالاً نخستین بار در این مقاله مورد توجه قرار می‌گیرد. در تمامی مسائل بارگیری/بسته‌بندی چند بعدی که در ادبیات مورد اشاره قرار گرفته‌اند، شکل اقلامی که قرار است بارگیری یا بسته‌بندی شوند دانسته فرض می‌شود. در بیشینه‌ی مطالعات اشکال مستطیلی یا مکعبی را در نظر می‌گیرند. در مسئله‌ی ارسال سفارشاتی که از جانب تأمین‌کنندگان به سمت کارخانه‌های مونتاژ ارسال می‌شود، می‌تواند در قالب «اقلام» مدل نظر گنجانده شود. تقاضای که در اینجا وجود دارد آن است که سفارشات هیچ شکل از پیش تعیین شده‌ی ندارند و تنها تعداد پالت‌که که در بر دارند معلوم است. این پالت‌ها می‌توانند به اشکال مختلف و در قالب یک مکعب یکپارچه درون خودروی حامل بارگیری شوند. به عنوان مثال یک سفارش با ۸ عدد پالت، می‌تواند درون یک خودروی حامل در قالب یک مکعب یکپارچه با ابعاد $4 \times 2 \times 1$ یا $2 \times 2 \times 2$ یا حتی $3 \times 2 \times 2$ باشد.

شکل چیدمان قابل تغییر درون خودروها، اعمال هزینه‌های تحويل پالت‌های فلزی در مسیر برگشت، پنجره‌های زمانی برای سفارشات و ناوگان نامتجانس، در قالب محدودیت به مسئله‌ی کلاسیک برداشت و تحويل اضافه می‌شود. از آن‌جا که در تمامی انواع مسائل مسیریابی خودرو هدف گروه‌بندی سفارشات درون خودروهای حامل است، یک الگوریتم فرالاتکاری با عنوان استراتژی تکاملی گروه‌بندی (GES) برای حل مسئله ارائه می‌شود که مجهز به روش‌های ابتکاری کارا برای استفاده از داشت ساختاری مسئله است. سازوکار عملکرد این روش‌ها به گونه‌ی است که همواره شدنی بودن جواب را از نقطه‌نظر بارگیری سفارشات درون خودروی حامل و شدنی بودن مسیریابی را از منظر پنجره‌های زمانی دریافت و تحويل سفارشات، تأمین می‌کند.

با مراجعه به ادبیات موضوع می‌توان خلاصه تحقیقاتی ملموسی را در برنامه‌ریزی بارگیری اقلام درون خودروهای حامل، شناسایی کرد. عمدت تحقیقات موجود در حوزه‌ی مسیریابی، تنها محدودیت ظرفیت وزنی بار را لحاظ می‌کنند. به عنوان مثال: وزن بار درون خودروی حامل باید کمتر از ۲۲ تن باشد. این محدودیت تنها زمانی که نسبت وزن به حجم اقلام زیاد است می‌تواند منطقی باشد. برای بارگیری اقلام حجیم نظر پالت‌ها ممکن است پیش از آن که محدودیت وزن فعال شود، محدودیت در حجم فضای بارگیری خودروی حامل فعل شود. این امر دلالت بر آن دارد که هنگام برنامه‌ریزی برای تخصیص سفارشات به خودروهای حامل، ملاحظات بارگیری پالت‌های سفارشات در فضای سه بعدی باید مورد توجه قرار گیرد. در عین حال، پوشش خلاصه مقایسه میان عملکرد هزینه‌ی سیستم لجستیک میلکران و سیستم ارسال مستقیم سفارشات که استفاده از آن در صنعت خودروسازی رایج است، اهمیت ویژه دارد و نخستین بار در این مقاله مورد توجه قرار می‌گیرد.

ایده‌ی بارگیری سفارشات با شکل چیدمان قابل تغییر درون خودروهای حامل، احتمالاً نخستین بار در این مقاله مورد توجه قرار می‌گیرد. در تمامی مسائل بارگیری/بسته‌بندی چند بعدی که در ادبیات مورد اشاره قرار گرفته‌اند، شکل اقلامی که قرار است بارگیری یا بسته‌بندی شوند دانسته فرض می‌شود. در بیشینه‌ی مطالعات اشکال مستطیلی یا مکعبی را در نظر می‌گیرند. در مسئله‌ی ارسال سفارشاتی که از جانب تأمین‌کنندگان به سمت کارخانه‌های مونتاژ ارسال می‌شود، می‌تواند در قالب «اقلام» مدل نظر گنجانده شود. تقاضای که در اینجا وجود دارد آن است که سفارشات هیچ شکل از پیش تعیین شده‌ی ندارند و تنها تعداد پالت‌که که در بر دارند معلوم است. این پالت‌ها می‌توانند به اشکال مختلف و در قالب یک مکعب یکپارچه درون خودروی حامل بارگیری شوند. به عنوان مثال یک سفارش با $4 \times 2 \times 1$ یا $2 \times 2 \times 2$ یا حتی $3 \times 2 \times 2$ باشد.

انتخاب یکی از این اشکال مکعب‌شکل برای سفارش و چیدمان پالت‌های سفارش درون خودروی حامل در قالب این مکعب یکپارچه می‌تواند از طرق متغیرهای تصمیم صورت پذیرد. توجه داشته باشید که مجموعه‌ی اشکال مرتبط با یک سفارش می‌تواند با تغییر نوع وسیله‌ی نقلیه تغییر یابد که این خود بر پیچیدگی مدل سازی برای ناوگان نامتجانس می‌افزاید. در این مقاله از این نوع بارگیری تحت عنوان بارگیری اقلام با شکل متغیر یاد می‌شود. در ادامه نشان خواهیم داد که چگونه مجموعه‌ی محدودیت‌هایی که قیود لازم برای بارگیری سفارشات با شکل متغیر را درون خودروهای حامل فراهم سازند، قبل معرفی هستند.

نوآوری‌ها و مزیت‌های رویکردهای معرفی شده در مقاله به صورت زیر قابل شمردن است:

۳. تعریف مسئله و مدل‌سازی ریاضی

در بازه زمانی روزانه، برنامه‌ریزی ارسال محموله‌ها از سمت تأمین‌کنندگان به سمت خطوط مونتاژ صورت می‌پذیرد. این برنامه‌ریزی شامل تخصیص پالت‌های هر یک از قطعات یا محصولات به مسیرهای میلکران است که توسط خودروهایی که مسئولیت بارگیری و تحويل آنها را دارند، پیموده می‌شود. هدف تعیین مسیریابی بهینه و زمان‌بندی برداشت و تحويل برای کمینه‌سازی هزینه‌های جمع‌آوری و توزیع است (شکل ۲). سایر ملاحظاتی که روی بارگیری سفارشات و مسیریابی خودروهای حامل وجود دارد نیز در قالب محدودیت‌ها به مدل معرفی می‌شوند. شرایط و

- درون یک خودروی حامل، پالت‌های یک سفارش نمی‌توانند در مکان‌های مختلف بارگذاری شوند. به عبارت دیگر، پالت‌های یک سفارش باید کمینه در یک وجهه یکدیگر چسبیده باشند و تشکیل یک مکعب یک‌پارچه بار دهنده (زیربخش ۳-۱) را بینند.

- یک خودروی حامل می‌تواند تنها یکبار از گره‌های مربوط به تأمین کنندگان خارج شده و به یکی از گره‌های مربوط به تحويل‌گرندگان وارد شود.

۱.۳. بارگیری سفارشات/اقلام با شکل قابل تغییر

یکی از پیش‌فرضهای موجود در مسائل بسته‌بندی اقلام در ظروف دو بعدی و سه بعدی آن است که شکل اقلام معین و ثابت است. هیچ‌گونه تغییر شکل یا تغییر ابعاد در اقلام به هنگام بسته‌بندی مجاز نیست. اما در مسئله‌ی مورد بررسی در این مقاله، هریک از سفارشات که متناظر با یک قلم در مسائل بسته‌بندی است، دارای یک پaramتر به نام تعداد پالت است. پالت‌های یک سفارش می‌توانند با آراش بندی متفاوت درون یک خودروی حامل چیده شوند. به عنوان مثال یک سفارش با ۸ عدد پالت می‌تواند درون یک خودروی حامل در قالب یک مکعب یک‌پارچه با ابعاد $1 \times 2 \times 4$ یا $4 \times 1 \times 2$ یا $2 \times 2 \times 2$ یا حتی $2 \times 3 \times 3$ بارگیری شود. تخصیص سفارشات به خودروهای حامل باستی بر حسب محدودیت‌های بارگیری شدنی باشد.

با در نظر گرفتن سفارش m با f_m پالت، فرض کنید $n_{l,m}$ و $n_{w,m}$ و $n_{h,m}$ نمایان‌گر طول، عرض و ارتفاع مکعب یک‌پارچه بار (ULC)^۴ بر حسب تعداد پالت باشند. منظور از مکعب یک‌پارچه بار کوچک‌ترین مکعبی است که طرح چیدمان پالت‌های سفارش درون خودروی حامل را محیط می‌کند. در سرتاسر مقاله، ابعاد ULC بر حسب تعداد پالت بیان می‌شود. منطقی است که همواره داشته باشیم $n_{h,m} = N_{h,m,k}$ که در آن $N_{h,m,k}$ بیشینه تعداد پالت از سفارش m است که می‌توانند روی یکدیگر درون خودروی حامل k چیده شوند. با قرار دادن مقادیر مختلف برابر $n_{l,m}$ و $n_{w,m}$ ، می‌توان انواع ULC های شدنی را تولید کرد. ایده بارگیری سفارشات با شکل قابل تغییر در فضای دو بعدی^۵ (SC2DL)، معروفی $n_{l,m}$ و $n_{w,m}$ به عنوان متغیر تصییم در مدل برنامه‌ریزی خطی عدد صحیح مختصات با در نظر گرفتن $N_{w,m,k}$ تعداد پالت‌های سفارش m است که می‌توانند در عرض خودروی حامل k قرار گیرند. شکل ۳ یک مثال خوب برای نمایش منطق SC2DL به نمایش می‌گذارد.

خطارنشان می‌شود که به دلیل تنویر در ابعاد پالت‌ها، پالت‌های سفارشات مختلف نمی‌توانند روی یکدیگر قرار گیرند. به این دلیل، محدودیت‌های بارگیری که توسط SC2DL تحمیل می‌شود در فضای دو بعدی نوشتہ می‌شوند.

۲.۳. نمادگذاری

مجموعه‌ها

K مجموعه‌ی خودروهای حامل (k)

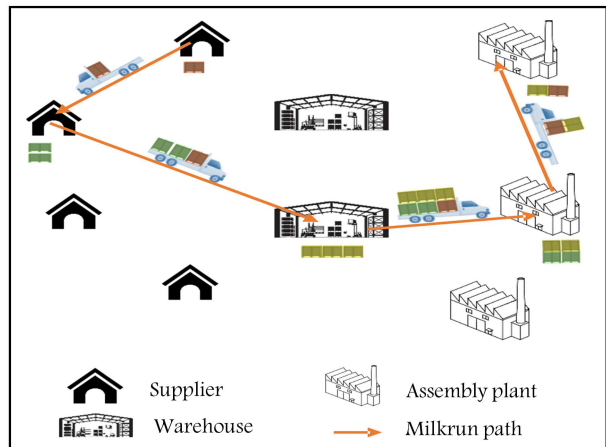
I مجموعه‌ی گره‌ها (j,i)؛ اولین گرهی مجازی است

M مجموعه‌ی سفارشات (m, m')

پaramترها

$M_1 - M_4$ ضرایب ثابت

ε یک مقدار کوچک مثبت



شکل ۲. نمایی از شبکه‌ی تأمین قطعات در صنعت خودروسازی.

مفروضات زیر در ساخت مدل ریاضی برای مسئله‌ی MRLP در نظر گرفته می‌شوند.

- تعداد زیادی خودروی حامل متعلق به یک ناوگان نامتجاس در دسترس است. خودروهای حامل از نوع کفی بوده و محفظه‌ی بارگیری آنها دارای درب از بغل است. تعداد خودروهای حامل مورد استفاده و همچنین نوع آنها توسط مدل ریاضی تعیین می‌شود.

- قرارگیری درب محفظه‌ی بارگیری در بغل خودروی حامل اجازه می‌دهد که بارگیری توسط لیفتراک از دو طرف خودروی حامل صورت پذیرد. در این شرایط، مسئله‌ی بارگیری می‌تواند معادل با مسئله‌ی بسته‌بندی اقلام باشد. در سرتاسر مقاله از واگان «بارگیری» و «بسته‌بندی» به صورت مترادف استفاده می‌شود.

- هر خودروی حامل دارای ظرفیت وزنی و حجمی (سبعدی) محدود است.

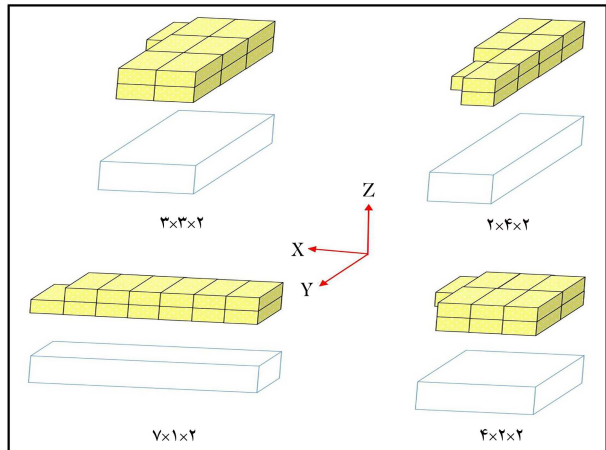
- در صورتی که کمینه یک پالت فازی درون محنتیات خودروی حامل باشد، هزینه‌ی مسیر به صورت یک و نیم برابر محاسبه می‌شود (زیار خودروی حامل مجبور است به تعداد پالت‌های فازی که حامل آنهاست، پالت خالی از محل تحويل برداشت نموده و به سازندگان مربوطه بازگرداند). شایان ذکر است که پالت‌های چوبی در محل مصرف تبدیل به ضایعات چوبی شده و الایمی به بازگرداندن آنها نیست. خودروهایی که صرفاً حامل پالت‌های چوبی هستند، بعد از تحويل سفارشات آزاد می‌شوند.

- پالت‌های چوبی قابلیت قرارگیری روی یکدیگر را ندارند.

- زمان‌های بارگیری و تخلیه مجزا از زمان‌های سفر بوده و تابعی از تعداد پالت‌های در حال بارگیری یا تخلیه‌اند.

- بارگیری و تحويل یک سفارش باید در یک بازه (پنجراهی زمانی) معین از زمان در طول روز صورت پذیرد.

- سفارشی که وزن یا حجم آن کم تراز ظرفیت وزنی و حجمی بزرگ‌ترین خودروی حامل است نمی‌تواند به سفارشات کوچک‌تر شکسته شود. پالت‌های این‌گونه سفارشات همگی باید به صورت یک‌پارچه و یک‌باره برداشت و تحويل شوند. در غیر این صورت سفارش به محموله‌های FTL شکسته شده و تمامی خودروهایی که برای ارسال محموله‌های شکسته شده مورد استفاده قرار می‌گیرند دارای LTL کامل هستند. البته ممکن است در انتهای، یک خودرو باشد که محموله آن بوده و در مسیر میلکران شرکت کند.



شکل ۳. اشكال مختلف باگیری سفارش m و ULC نظیر آنها با فرض $Nw_{m,k} = ۲, ۴$ و $Nh_{m,k} = ۲, ۴$.

برابر ۱ است اگر سفارش m توسط خودروی حامل k برداشته شود
 γ_k برابر ۱ است محتویات خودروی حامل k شامل کمینه یک پالت فلزی باشد
 برابر ۱ است اگر ULC سفارش m در سمت راست ULC سفارش m' باشد

برابر ۱ است اگر ULC سفارش m در پشت ULC سفارش m' باشد

• متغیرهای تصمیم پیوسته

$W_{i,k}$ وزن کل پالت‌های موجود درون خودروی حامل k بلافضله پس از ترک گره i

$T_{i,k}$ زمان رسیدن خودروی حامل k به گره i
 x_{sm} طول مختصات نقطه‌ی گوشی راست - پایین - پشت مربوط به ULC سفارش m

y_{sm} عرض مختصات نقطه‌ی گوشی راست - پایین - پشت مربوط به ULC سفارش m

طول ULC سفارش m بر حسب تعداد پالت nl_m
 عرض ULC سفارش m بر حسب تعداد پالت nw_m

۳.۳. مدل برنامه‌ریزی عدد صحیح مختلط

در این بخش به معرفی یک مدل MILP برای مسئله‌ی MRLP، با استفاده از منطق باگیری SC2DL می‌پردازیم.

$$\text{Min} \sum_{i \in I} \sum_{j \in J} \sum_{k \in K} \text{cost}_{i,j,k} * (X_{i,j,k} + \delta_{i,j,k}) \quad (1)$$

$$s.t. \quad (1)$$

$$Z_{i,j,k} \leq \frac{1}{\delta} (X_{i,j,k} + \gamma_k) \quad i \in I, j \in J, k \in K \quad (2)$$

$$X_{i,j,k} + \gamma_k - 1 \leq Z_{i,j,k} \quad i \in I, j \in J, k \in K \quad (3)$$

$$\sum_{m \in M} PT_m \delta_{m,k} \leq \gamma_k \sum_{m \in M} PT_m \quad k \in K \quad (4)$$

$$\sum_{m \in M} PT_m \delta_{m,k} \geq \gamma_k \quad k \in K \quad (5)$$

$$\sum_{m \in O'_i} \delta_{m,k} + \sum_{m \in D'_i} \delta_{m,k} \geq Y_{i,k} \quad i \in I, i \neq 1, k \in K \quad (6)$$

$$\delta_{m,k} \leq Y_{i,k} \quad i \in I, i \neq 1, k \in K, m \in O'_i \quad (7)$$

$$\delta_{m,k} \leq Y_{i,k} \quad i \in I, i \neq 1, k \in K \quad (8)$$

$$\sum_{k \in K} \delta_{m,k} = 1 \quad m \in M \quad (9)$$

$$\sum_{j \in J} X_{i,j,k} \leq 1 \quad m \in M \quad (10)$$

$$\sum_{i \in I} X_{i,j,k} = \sum_{i \in I} X_{j,i,k} \quad j \in J, k \in K \quad (11)$$

$$\sum_{j \in J} X_{i,j,k} = Y_{i,k} \quad i \in I, k \in K \quad (12)$$

$$\sum_{k \in K} Y_{i,k} \geq 1 \quad i \in I \quad (13)$$

$$\sum_{k \in K} X_{i,i,k} = 1 \quad i \in I \quad (14)$$

$L_{max} = \max(L_k); k$ طول فضای باگیری خودروی حامل k

$W_{max} = \max(W_k); k$ عرض فضای باگیری خودروی حامل k

WC_k ظرفیت وزنی خودروی حامل k

w_m وزن هر پالت از سفارش m

$Nw_{m,k}$ تعداد پالت سفارش m که می‌توان در عرض خودروی حامل k چید

$Nh_{m,k}$ تعداد پالت سفارش m که می‌توان روی یکدیگر در خودروی حامل k چید

pl_m طول پالت سفارش m

pw_m عرض پالت سفارش m

LT_m زمان مورد نیاز باگیری هر پالت از سفارش m

UT_m زمان مورد نیاز تخلیه هر پالت از سفارش m

f_m اندازه سفارش m (برحسب تعداد پالت)

$Orig_m$ نقطه‌ی مبدأ (شروع) سفارش m

$Dest_m$ نقطه‌ی مقصد سفارش m

O'_i سفارشاتی که مبدأ آنها گره i باشد

D'_i سفارشاتی که محل تحویل آنها گره i باشد

lb_m حد پایین پنجره‌ی زمانی برداشت سفارش m

ub_m حد بالای پنجره‌ی زمانی تحویل سفارش m

$Cost_{i,j,k}$ هزینه‌ی حمل و نقل از گره j به گره i توسط خودروی حامل k

$Time_{i,j,k}$ زمان حمل و نقل از گره i به گره j توسط خودروی حامل k

ns تعداد تأمین‌کنندگان

nk تعداد خودروهای حامل در دسترس

nm تعداد سفارشات

PT_m پارامتر نوع پالت سفارش m (فلزی = ۱ و چوبی = ۰)

• متغیرهای تصمیم صفر و یک

$X_{i,j,k}$ برابر ۱ است اگر یال عبوری از گره i به گره j ، توسط خودروی حامل k پیموده شود

$Z_{i,j,k}$ برابر ۱ است اگر ۱ و کمینه یک پالت فلزی درون خودروی حامل k باشد

$Y_{i,k}$ برابر ۱ است اگر گره i توسط خودروی حامل k ملاقات شود

دارد با خیر مورد استفاده قرار می گیرد. برای این نوع خودروها هزینه یک و نیم برابر هزینه‌ی نرمال است. مجموعه‌ی محدودیت ۶ برای اعمال این شرط است که اگر یک خودروی حامل یک گره خاص را ملاقات کرد، آن‌گاه باید کمینه یک پالت از یکی از سفارشات آن بردارد یا تحویل دهد. مجموعه‌ی محدودیت‌های ۷ و ۸ نمایان‌گر آن است که اگر سفارش m درون خودروی حامل k قرار گیرد، آن‌گاه خودرو باید گره‌های مبدأ و مقصد سفارش را ملاقات کند. مجموعه‌ی محدودیت ۹ اطمینان می دهد که سفارشات نباید به اجراء کوچک‌تر شکسته شوند. مجموعه‌ی محدودیت ۱۰ بیان‌گر آن است که یک خودروی حامل می‌تواند گره مجازی را حداکثر یک بار ترک کند. مجموعه‌ی محدودیت ۱۱ به بالاتس جریان می‌پردازد. مجموعه‌ی محدودیت ۱۲ تنها یک بار خروج از گره ملاقات شده را جایز می‌داند. مجموعه‌ی محدودیت ۱۳ بیان می‌دارد که هر گره باید دست‌کم توسط یک خودروی حامل ملاقات شود. مجموعه‌ی محدودیت ۱۴ از ایجاد دور جلوگیری می‌کند. مجموعه‌ی محدودیت ۱۵ اطمینان می‌دهد که یک خودروی حامل می‌تواند از مجموعه‌ی گره‌های تأمین‌کننده/ابناء حداکثر یک بار به سمت مجموعه‌ی گره‌های مربوط به کارخانه مونتاژ/ابناء خارج شود. مجموعه‌ی محدودیت ۱۶ کل وزن با درون خودروی حامل را بعد از هر برداشت یا تحویل به روزرسانی می‌کند. مجموعه‌ی محدودیت ۱۷، محدودیت ظرفیت وزنی خودروی حامل را اعمال می‌کند. زمان رسیدن هر خودروی حامل به هر گره در مسیر خود، توسط مجموعه‌ی محدودیت ۱۸ محاسبه می‌شود. مجموعه‌ی محدودیت ۱۹ اطمینان می‌دهد که به ازای هر سفارش تخصیص یافته به خودروی حامل، گره مبدأ سفارش قبل از گره مقصد آن ملاقات شود. مجموعه‌ی محدودیت‌های ۲۰ و ۲۱ محدودیت‌های مربوط به پنج گره‌های زمانی سفارشات را اعمال می‌کند. مجموعه محدودیت‌های ۲۲ و ۲۳ تضمین می‌دهند که ULC‌های سفارشات m و m' با یکدیگر هم‌بوشانی نداشته باشند. بررسی وجود این هم‌بوشانی تنها زمانی لازم است که سفارشات m و m' در یک خودروی حامل قرار گیرند که این امر توسط مجموعه‌ی محدودیت ۲۶ تأمین می‌شود. مجموعه‌ی محدودیت‌های ۲۴ و ۲۵ اطمینان می‌دهند که هنگامی که یک سفارش درون خودروی حامل قرار می‌گیرد، پالت‌های مربوط به آن در فضای فیزیکی بارگیری خودروی حامل قرار می‌گیرند. محدودیت ۲۶ موقعیت ULC سفارش m را در مقایسه با موقعیت ULC سفارش m' تعیین می‌کند. یعنی این که آیا سفارش m پشت سر/جلوی سفارش m' قرار می‌گیرد. مجموعه‌ی محدودیت ۲۷، شکل ULC سفارش m را تعیین می‌کند. به کمک این محدودیت، انواع ULC‌های مرتبط با سفارش m درون خودروی حامل k تولید می‌شوند. درنهایت، نوع متغیرها توسط مجموعه‌ی محدودیت‌های ۲۸ تعیین می‌شود.

از ضرایب $M_1 - M_4$ برای غیرفعال کردن محدودیت‌های نظریه‌شان به هنگام نیاز استفاده می‌شود. بدین منظور، مقادیر این ضرایب نباید آنقدر بزرگ باشد که منجر به گسترش فضای آزاد سازی خطی شود. به جای استفاده از مقادیر مثبت و بزرگ، می‌توان مقادیر این ضرایب را به صورت زیر تعیین کرد.

$$\begin{aligned} M_1 &= \max(WC_k) + nm^* \max(f_n)^* \max(w_m) \\ M_2 &= \max(ub_m - lb_m) + nm^* \max(f_m)^* \\ &\quad (\max(LT_m) + \max(UT_m)) \\ &\quad + \max(time_{i,j,k}) \\ M_3 &= \max(ub_m - lb_m) \\ M_4 &= \max(ub_m) \end{aligned}$$

$$\sum_{i \in I, i \neq j, i \leq ns+1} \sum_{\substack{j \in I, \\ j > ns+1}} X_{i,j,k} \leq 1 \quad k \in K \quad (15)$$

$$\begin{aligned} W_{i,k} + \sum_{m \in O'_{-j}} w_m f_m \delta_{m,k} - \sum_{m \in D'_{-j}} w_m f_m \delta_{m,k} \\ i \in I, j \in I, i \neq 1 \end{aligned} \quad (16)$$

$$W_{i,k} \leq WC_k \quad i \in I, k \in K \quad (17)$$

$$\begin{aligned} T_{i,k} + \sum_{m \in O'_{-i}} LT_m f_m \delta_{m,k} + \sum_{m \in D'_{-i}} UT_m f_m \delta_{m,k} \\ i \in I, j \in I, i \neq 1 \end{aligned} \quad (18)$$

$$\begin{aligned} + time_{i,j,k} \leq T_{j,k} + M_1 (1 - X_{i,j,k}) \quad k \in K \\ T_{j,k} \leq T_{i,k} - M_1 (1 - \delta_{m,k}) \\ k \in K, m \in M', i = Orig_m, j = Dest_m \end{aligned} \quad (19)$$

$$\begin{aligned} T_{i,k} \geq lb_m \delta_{m,k} \\ k \in K, m \in M, i = Orig_m, \end{aligned} \quad (20)$$

$$\begin{aligned} T_{i,k} \leq ub_m + M_1 (1 - \delta_{m,k}) \quad m \in M, i = Dest_m, k \in K \end{aligned} \quad (21)$$

$$\begin{aligned} xs_m - xs_{m'} \leq L_{\max} (1 - a_{m,m'}) - nl_m pw_m \\ m, m' \in M, m \neq m' \end{aligned} \quad (22)$$

$$\begin{aligned} ys_m - ys_{m'} \leq W_{\max} (1 - b_{m,m'}) - nw_m pl_m \\ m, m' \in M, m \in m' \end{aligned} \quad (23)$$

$$\begin{aligned} xs_m \leq L_k - nl_m pw_m + (L_{\max} - L_k) (1 - \delta_{m,k}) \\ m \in M, k \in K \end{aligned} \quad (24)$$

$$\begin{aligned} ys_m \leq W_k - nw_m pl_m + (W_{\max} - W_k) (1 - \delta_{m,k}) \\ m \in M, k \in K \end{aligned} \quad (25)$$

$$\begin{aligned} a_{m,m'} + a_{m',m} + b_{m,m'} + b_{m',m} \geq \delta_{m,k} + \delta_{m',k} - 1 \\ m, m' \in M, k \in K \end{aligned} \quad (26)$$

$$nl_m = \left[\sum_{k \in K} \left[\frac{f_m}{N h_{m,k}} \right] * \delta_{m,k} \right] / nw_m \quad m \in M, k \in K \quad (27)$$

$$X_{i,j,k}, Y_{i,k}, \gamma_k, \delta_{m,k}, Z_{i,j,k}, a_{m,m'}, b_{m,m'} \in \{0, 1\}$$

$$W_{i,k}, T_{i,k}, xs_m, ys_m \geq 0$$

$$nl_m, nw_m \geq 0, \text{integer} \quad (28)$$

تابع هدف ۱ به کمینه‌سازی کل هزینه‌های حمل و نقل می‌پردازد که مشتمل بر هزینه‌های حمل و نقل از تأمین‌کنندگان به کارخانه‌های مونتاژ و هزینه‌های برگشت پالت‌های فلزی خالی به تأمین‌کنندگان با هزینه‌ی معادل نیم برابر هزینه‌ی مسیر رفت است. مجموعه‌ی محدودیت‌های ۲ و ۳ برای تحمیل هزینه‌ی نیم برابر مربوط به برگشت پالت‌های فلزی خالی به تأمین‌کنندگان اعمال می‌شوند. مجموعه‌ی محدودیت‌های ۴ و ۵ برای تعیین این که آیا کمینه یک پالت فلزی درون خودروی حامل وجود

بسته‌بندی اقلام در ظروف، زمان‌بندی ماشین‌های موازی، خوشبندی داده‌ها و غیره از جمله مسائلی هستند که می‌توان به عنوان مسائل گروه‌بندی در نظر گرفت. در مسئله‌ی MRLP، در وهله‌ی نخست، سفارشات (اقلام) درون خودروهای حامل (گروه‌ها) قرار می‌گیرند. بنابراین استفاده از الگوریتم‌های گروه‌بندی می‌تواند یک گزینه ارزشمند برای حل مسئله‌ی MRLP باشد. از آنجا که تعداد خودروهای حامل مورد استفاده در جواب‌های مختلف متفاوت است، با یک مسئله‌ی گروه‌بندی با گروه‌های متغیر مواجه هستیم. به علت نامتجانس بودن ناوگان حمل و نقل، مسئله‌ی تحت بررسی یک مسئله‌ی گروه‌بندی با گروه‌های غیر یکسان است. به علاوه، به دلیل نیاز به انجام مسیریابی برای خودروهای حامل، ترتیب (مسیریابی) اقلام تخصیص یافته به گروه‌ها (گروه‌های مبدأ/مقصد متناظر با سفارشات) مهم است. بنابراین مسئله‌ی از نوع مسئله‌ی گروه‌بندی وابسته به ترتیب اقلام است. یک مسئله‌ی گروه‌بندی با ویژگی‌های فوق در زمرة سخت‌ترین و پیچیده‌ترین مسائل گروه‌بندی است.^[۵۲] با توجه به ساختار خاص و اهمیت مسائل گروه‌بندی، روش‌های فرآیندکاری مختلفی برای حل آنها معرفی شده‌اند که طراحی آنها به گونه‌ی است که با ساختار مسئله‌ی گروه‌بندی تطبیق یابند. از جمله این الگوریتم‌ها می‌توان به الگوریتم گروه‌بندی ژنتیک (GGA)، استراتژی تکاملی گروه‌بندی (GES) و بهینه‌سازی اجتماع ذرات گروه‌بندی (GPSO) اشاره کرد. به خاطر مزایا و برتری‌هایی که الگوریتم GES نسبت به الگوریتم‌های GGA و GPSO دارد، از این الگوریتم برای حل مسئله‌ی MRLP استفاده می‌شود.

یک الگوریتم مبتنی بر استراتژی تکاملی (ES) است که برای حل مسائل دارای ساختار گروه‌بندی نخستین بار توسط^[۵۳] و بعد از آن توسعه^[۵۴] معرفی شده است. این الگوریتم به صورت موقتی‌آمیز روی مسائلی نظری بسته‌بندی اقلام در ظروف، خوشبندی فازی، زمان‌بندی ماشین‌های پردازنده اپلاشت، زمان‌بندی ماشین‌های موازی، مسیریابی هلی‌کوپتر و غیره پیاده‌سازی شده است. در زیربخش‌های بعدی، اجرای اصلی الگوریتم GES پیشنهادی برای حل مسئله‌ی MRLP تشریح می‌شوند. به طور خاص طرح رمزگذاری جواب، نحوه تولید جواب اولیه و سازوکار تولید جواب جدید و روش‌های ابتکاری طراحی شده برای تکمیل جواب توضیح داده می‌شوند. شایان ذکر است که در این مقاله، همواره از استراتژی حفظ شدنی بودن جواب‌ها از نظر محدودیت‌های بارگیری و مسیریابی استفاده می‌شود. به علاوه تابع برازنده‌گی برای با مجموع هزینه‌های حمل و نقل در نظر گرفته می‌شود. چارچوب کلی الگوریتم GES به صورت زیر است. برای کسب اطلاع از جزئیات بیشتر الگوریتم و پارامترهای کنترلی آن، خوانندگان علاقه‌مند می‌توانند به منابع ذکر شده مراجعه کنند.

• الگوریتم $(1 - \lambda) - GES$

شروع

مقادیر اولیه را برای r^* , α^* , β^* , λ^* تعیین کنید؛

$$t^* \leftarrow 0$$

$$a^* \leftarrow a^0$$

یک جواب شدنی X^t توسط الگوریتم «بهترین بلازش» تولید کنید؛

مادامی که شرایط خاتمه برقرار نیست

به ازای t از 1 تا λ

الگوریتم NSG را اعمال کرده و جواب Y_i^t را تولید کنید؛

پایان به ازای

$$rand < r$$

از بین X^t و λ جواب فرزند تولید شده، یک جواب را به طور تصادفی انتخاب

۱.۳.۳. مدل برنامه‌ریزی عدد صحیح مختلط

با مراجعه به مجموعه‌ی روابط ۱ تا ۲۸ می‌توان دریافت که تنها رابطه‌ی ۲۷ یک رابطه‌ی غیرخطی است. به طور معادل می‌توان از مجموعه‌ی محدودیت‌های ۲۹ و ۳۰ به جای محدودیت ۲۷ استفاده کرد.

$$nl_m nw_m \geq \sum_{k \in K} \lceil f_m / Nh_{m,k} \rceil * \delta_{m,k} \quad m \in M \quad (29)$$

$$nl_m nw_m - (1 - \varepsilon) nw_m \leq \sum_{k \in K} \lceil f_m / Nh_{m,k} \rceil * \delta_{m,k} \quad m \in M \quad (30)$$

در محدودیت‌های فوق عبارت $nl_m nw_m$ یک عبارت غیرخطی است. برای دست‌یابی به یک مجموعه‌ی خطی از محدودیت‌ها می‌توان محدودیت ۲۹ و ۳۰ را با محدودیت‌های ۳۷-۳۱ جایگزین کرد که در آن $\frac{L_{\max}}{\log_2 p^{w_m}} + 1$ و $s_{\max} = \left\lceil \log_2 \frac{W_{\max}}{p^{l_m}} + 1 \right\rceil$

$$nl_m = \sum_{r=1}^{r_{\max}} 2^{r-1} * bl_{m,r} \quad m \in M \quad (31)$$

$$nw_m = \sum_{s=1}^{s_{\max}} 2^{s-1} * bw_{m,s} \quad m \in M \quad (32)$$

$$blw_{m,r,s} \leq (bl_{m,r} + bw_{m,s}) / 2 \quad (33)$$

$$m \in M, r = 1, \dots, r_{\max}, s = 1, \dots, s_{\max} \quad (33)$$

$$blw_{m,r,s} \geq (bl_{m,r} + bw_{m,s}) - 1 \quad (34)$$

$$m \in M, r = 1, \dots, r_{\max}, s = 1, \dots, s_{\max} \quad (34)$$

$$\sum_{r=1}^{r_{\max}} \sum_{s=1}^{s_{\max}} 2^{r+s-1} * blw_{m,r,s} \geq \sum_{k \in K} \lceil f_m / Nh_{m,k} \rceil * \delta_{m,k} \quad m \in M \quad (35)$$

$$\sum_{r=1}^{r_{\max}} \sum_{s=1}^{s_{\max}} 2^{r+s-1} * blw_{m,r,s} - (1 - \varepsilon) nw_m \leq \quad m \in M \quad (36)$$

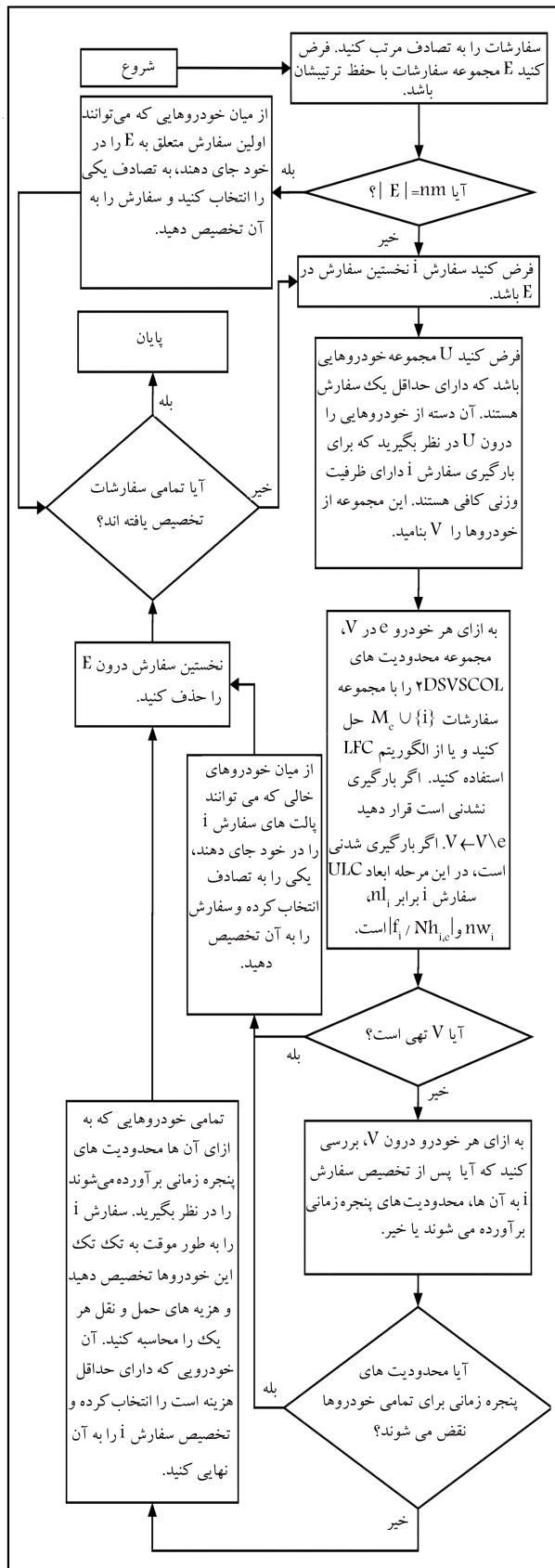
$$\sum_{k \in K} \lceil f_m / Nh_{m,k} \rceil * \delta_{m,k} \quad (36)$$

$$bl_{m,r}, bw_{m,s}, blw_{m,r,s} \in \{0, 1\} \quad (37)$$

با جایگزین کردن مجموعه‌ی محدودیت‌های ۳۷-۳۱ با مجموعه‌ی محدودیت ۲۷ می‌توان به یک مدل برنامه‌ریزی خطی عدد صحیح مختلط کامل برای مسئله‌ی MRLP دست یافت.

۴. روش حل پیشنهادی

مدل برنامه‌ریزی ریاضی معرفی شده می‌تواند تنها برای حل مسائل با ابعاد کوچک کارا ظاهر شود. برای مسائل بزرگ‌تر، نیاز است که یک روش حل مناسب برای یافتن جواب‌های با کیفیت قابل قبول در یک زمان معقول طراحی شود. از آنجا که در مسئله‌ی گروه‌بندی در نظر گرفته شود. در یک مسئله‌ی گروه‌بندی، تصمیم‌گیرنده به دنبال افزایش یک مجموعه از اقلام درون گروه‌هاست. مسئله‌ی مسیریابی وسیله‌ی نقلیه،



شکل ۴. سازوکار عملکرد الگوریتم «بهترین برازش».

کنید و آن را X^{t-1} اتلاق کنید؛

در غیر این صورت

از بین X^t و λ جواب فرزند تولید شده، بهترین جواب را انتخاب کرده و آن را

X^{t-1} اتلاق کنید؛

پایان اگر

$$\alpha \leftarrow \begin{cases} \alpha/a & f(X^{t+1}) < f(X^t) \\ \alpha a & f(X^{t+1}) \geq f(X^t) \end{cases}$$

$$t \leftarrow t + 1$$

$$a^t \leftarrow a$$

پایان مادامی که

پایان

۴.۱. طرح رمزگذاری جواب

از آنجا که مسئله‌ی تحت بررسی یک مسئله‌ی گروه‌بندی است، طرح نمایش جواب باید به گونه‌ی معروفی شود که از این ویژگی بهره‌برداری شود. طرح رمزگذاری جواب که الگوریتم GES از آن بهره می‌برد، مشتمل بر یک آرایه با ابعاد $1 \times nm$ است که در آن nm تعداد سفارشات است. این عنصر این آرایه نشان‌دهنده‌ی شماره‌ی خودروی حاملی است که سفارش m به آن تخصیص می‌یابد. اپراتور جهش در الگوریتم GES، تخصیص سفارشات به خودروهای حامل را مورد دستکاری قرار می‌دهد. در نهایت، سایر اجزای جواب از جمله طرح چیدمان پالت‌های سفارشات درون خودروهای حامل (طرح بارگیری) و مسیر یابی خودروهای حامل باید تعیین شود. این اجزا در خلال گام‌های الگوریتم «بهترین برازش»^۶ تعیین می‌شوند.

۴.۲. تولید جواب اولیه و الگوریتم «بهترین برازش»

تخصیص سفارشات به خودروهای حامل توسط الگوریتم «بهترین برازش» صورت می‌پذیرد. طراحی این الگوریتم به گونه‌ی است که هنگام تخصیص سفارشات به خودروها، شدنی بودن طرح بارگیری سفارشات درون خودروها و شدنی بودن مسیر خودروهای حامل از نظر پنجره‌های زمانی سفارشات، مدنظر قرار می‌گیرد. شکل ۴، سازوکار عملکرد الگوریتم «بهترین برازش» را به نمایش می‌گذارد. به طور کلی روش‌های مبتنی بر الگوریتم «بهترین برازش» بدین ترتیب عمل می‌کنند؛ هر بار از بین اقلام تخصیص نیافته، یک قلم را برحسب یک مشخصه‌ی معین انتخاب کرده و آن را در بهترین گروه شدنی قرار دهد. اگر قلم انتخاب شده قابل تخصیص به هیچ یک از گروه‌های موجود نبود، یک گروه جدید باز کرده و قلم مورد نظر را به آن تخصیص دهد.

الگوریتم «بهترین برازش» طراحی شده در این مقاله، به تخصیص سفارشات تخصیص نیافته به خودروهای حامل به صورت یک به یک می‌پردازد. این الگوریتم اولین سفارش تخصیص نیافته را از لیست انتخاب کرده و آن را به صورت موقت به یک خودروی حامل (از میان خودروهای مستعمل موجود) تخصیص داده و به بررسی شدنی بودن تخصیص از نظر محدودیت ظرفیت وزنی خودروی حامل می‌پردازد. سپس شدنی بودن طرح بارگیری بررسی می‌شود. سازوکار معرفی شده برای بررسی شدنی بودن طرح چیدمان پالت‌های سفارشات درون خودروی حامل، در بخش ۴-۴ تشریح می‌شود. هنگامی که بررسی شدنی بودن طرح بارگیری خاتمه یافته و پالت‌های سفارش جدید توانستند در کنار پالت‌های سایر سفارشات موجود

توجه داشته باشید که در رابطه‌ی 40 ، x_k^t و y_{ik}^t بر مجموعه‌ی سفارشات تخصیص یافته به خودروی حامل k در جواب X^t و Y_i^t دلالت دارند. از آن‌جا که ممکن است نتوان گرده y_{ik}^t از جواب فرزند را به گونه‌ی ساخت که درجه‌ی شباهت آن با گرده x_k^t از جواب والد دقیقاً برابر z_{ik}^t شود، از عملگر « \cong » استفاده شده است. به علاوه از تابع چگالی احتمال بتا می‌توان به جای تابع چگالی نرمال استفاده کرد. زیرا دارای انعطاف‌پذیری و قابلیت مدل‌سازی چولگی بوده و دامنه‌ی آن بازه $[0..1]$ است (توجه کنید $1 \leq Dis(..,.) \leq 0$). براساس رابطه‌ی 40 می‌توان نوشت:

$$Dis(y_{ik}^t, x_k^t) \cong Beta_{ik}(\alpha^t, \beta) \quad (41)$$

که در آن $Beta_{ik}(\alpha^t, \beta)$ یک عدد تصادفی بتا به ازای خودروی حامل k در جواب فرزند i در تکرار t است. α^t پارامتر استراتژی است که در تکرارهای متوالی به روزرسانی می‌شود. براساس معادلات 39 و 41 داریم:

$$\begin{aligned} Dis(y_{ik}^t, x_k^t) &= 1 - n_{ik}^t / |x_k^t| \cong Beta_{ik}(\alpha^t, \beta) \Rightarrow \\ n_{ik}^t &= [1 - Beta_{ik}(\alpha^t, \beta) |x_k^t|] \end{aligned} \quad (42)$$

که در آن n_{ik}^t تعداد سفارشات درون خودروی حامل k در جواب والد است که مستقیماً به خودروی حامل k در جواب فرزند انتقال می‌یابد. بنابراین، $-|x_k^t|$ سفارش که درون خودروی حامل k در جواب والد هستند، بلاتکلیف مانده و در خلال فاز وراثت به جواب فرزند انتقال نمی‌یابد. پس از اتمام فاز وراثت، مجموعه‌ی تمام سفارشات بلاتکلیف در فاز تخصیص مجدد، تکلیف‌شان مشخص شده و توسط الگوریتم «بهترین برازش» به خودروهای حامل موجود یا جدید تخصیص می‌یابند. جزئیات الگوریتم تولید جواب جدید در ادامه آمده است.

• الگوریتم تولید جواب جدید (NSG)

شروع

گام ۱ فاز وراثت

فرض کنید x_k^t مجموعه‌ی سفارشات تخصیص یافته به خودروی حامل k در جواب X^t که یک گروه‌بندی شدنی از سفارشات درون خودروهای حامل است، در تکرار t باشد. از میان خودروهای حامل مستعمل در جواب X^t ، خودروی حامل h را به تصادف انتخاب کرده و مقدار $|x_h^t|$ را محاسبه کنید؛ تعداد n_{ih}^t سفارش را از x_h^t انتخاب کرده و آنها را به y_{ih}^t تخصیص دهید. با احتمال 50% ، انتخاب سفارشات به تصادف صورت می‌پذیرد. در غیر این صورت، سفارشاتی که وزن بیشتری دارند در اولویت قرار دارند؛

$$\begin{aligned} g_{ih}^t &\leftarrow x_h^t \setminus y_{ih}^t \\ |X^t| \text{ از } k \text{ به ازای } h \neq & \\ y_{ik}^t &\leftarrow x_k^t \end{aligned}$$

پایان اگر

پایان به ازای

گام ۲ (فاز تخصیص مجدد)

با استفاده از الگوریتم «بهترین برازش»، هر یک از سفارشات درون g_{ih}^t را به یکی از خودروهای حامل موجود یا جدید تخصیص داده و جواب فرزند Y_i^t را تولید کنید. پایان

در خودروی حامل درون آن قرار گیرند، نوبت به بررسی شدنی بودن مسیر یابی از نظر محدودیت‌های پنجراهی زمانی سفارشات می‌رسد. سازوکار معرفی شده برای بررسی شدنی بودن مسیر خودروی حامل در بخش $5-4$ تشریح می‌شود. در صورتی که نتیجه‌ی یکی از این 3 بررسی مثبت نباشد، بررسی تخصیص سفارش به خودروی حامل بعدی صورت می‌پذیرد.

سازوکارهای تشریح شده برای بررسی شدنی بودن تخصیص سفارش به خودروی حامل، برای تمامی خودروهای حاملی که در حال حاضر دست‌کم یک سفارش درون خود دارند صورت می‌پذیرد. در نهایت، از میان تمامی خودروهای حاملی که می‌توانند سفارش انتخاب شده را در خود جای دهند، آن خودرویی انتخاب می‌شود که هزینه‌ی مسیر طی شده توسط آن از سایرین کم‌تر باشد و تخصیص سفارش به آن خودروی حامل نهایی می‌شود. این روش برای تمامی سفارشات تخصیص نیافته تکرار شده و تا حصول یک جواب شدنی کامل ادامه می‌یابد. برای تولید جواب اولیه، الگوریتم «بهترین برازش»، با یک لیست تصادفی از تمامی سفارشات موجود شروع می‌کند.

۴. الگوریتم تولید جواب جدید (NSG)^۷

با استفاده از یک جواب والد، تولید جواب جدید در GES مشتمل بر دو فاز است: فاز وراثت و فاز تخصیص مجدد. در فاز وراثت، تعدادی از سفارشات تخصیص باقیه به خودروی حامل در جواب فرزند، از جواب والد به ارت برده می‌شوند. در فاز تخصیص مجدد، سفارشات جامانده در فاز وراثت که به هیچ خودروی حاملی تخصیص نیافته‌اند، به یکی از خودروهای حامل موجود یا جدید، توسط الگوریتم «بهترین برازش» تخصیص می‌یابند.

فاز وراثت در الگوریتم NSG، مشتمل بر یک اپراتور جهش است که نسخه‌ی تطبیق یافته از اپراتور جهش اصلی در الگوریتم استراتژی تکاملی (ES) است. روشی که بر اساس آن اپراتور جهش برای مسائل گروه‌بندی تطبیق می‌یابد در ادامه آورده می‌شود. فرض کنید در الگوریتم ES که در فضای پیوسته کار می‌کند، X^t جواب والد در تکرار t باشد ($X^t = (x_1^t, x_2^t, \dots, x_n^t)$) یک جواب برای تابع اسکالار n متغیره است. فرض کنید $Y_i^t = (y_{i1}^t, y_{i2}^t, \dots, y_{in}^t)$ این جواب فرزند حاصل از X^t باشد. اپراتور جهش در الگوریتم ES برای تولید جواب Y_i^t به صورت زیر عمل می‌کند.

$$y_{ik}^t = x_k^t + z_{ik}^t, k = 1, \dots, n, i = 1, \dots, \lambda \quad (38)$$

که در آن $(1, 0)$ که $(0, 1)$ که $N_{ik}(0, 1)$ که عدد تصادفی نرمال استاندارد برای بعد k است و σ^t پارامتر استراتژی است. به منظور تطبیق معادله‌ی جهش 28 برای مسئله‌ی MRLP، که یک مسئله‌ی گروه‌بندی است، فرض کنید S و S' دو مجموعه از سفارشات درون یک خودروی حامل خاص در دو جواب مختلف باشند. می‌توان از ضریب عدم شباهت جاکارد، برای تعیین درجه نقاوت میان دو مجموعه استفاده کرد:

$$Dis(S, S') = 1 - |S \cap S'| / |S \cup S'| \quad (39)$$

برای دستیابی به اپراتور جهش در GES، با تغییر شکل رابطه 38 به صورت $z_{ik}^t = y_{ik}^t - x_k^t$ و جایگزینی «-» با «Dis» داریم:

$$Dis(y_{ik}^t, x_k^t) = z_{ik}^t \quad (40)$$

و نیازی به استفاده از متغیرهای تخصیص سفارش به خودروی حامل نیست. مجموعه‌ی محدودیت‌های $2DSVSCOL$ باید به تعداد زیاد ($nm \times nk$) باشد که در بدترین حالت) در هر بار اجرای الگوریتم «بهترین بازارش»، و بنابراین هزاران بار در هر بار اجرای الگوریتم GES حل شوند. تابع محاسباتی اولیه نشان از آن داردند که استفاده از این مجموعه محدودیت‌ها برای بررسی شدن بودن طرح بارگیری، از نظر محاسباتی به صرفه نیست. به منظور چاره‌جویی برای ترمیم این ضعف عملکردی، یک روش ابتکاری کارا برای بررسی شدن بودن طرح بارگیری معرفی می‌شود. البته این روش ابتکاری از خاصیت کامل بودن برخوردار نبوده و ممکن است هنگامی که طرح بارگیری شدنی است، اعلام نشدنی بودن کند.

ایده‌ی روش ابتکاری مورد نظر اساس تبدیل مسئله‌ی بارگیری، که توسط مجموعه محدودیت‌های $2DSVSCOL$ توصیف می‌شود، به یک مسئله‌ی بسته‌بندی سطح بندی شده اقلام در یک ظرف دو بعدی ($2DLSBP$)^۹ است. هر جواب شدنی برای $2DLSBP$ ، یک جواب شدنی برای $2DSVSCOL$ است.

مسئله‌ی $2DLSBP$ به صورت زیر قابل تعریف است. یک مجموعه از اقلام مستطیل شکل با طول l_i و عرض w_i را در نظر بگیرید. یک ظرف مستطیل شکل نیز با طول L و عرض W در نظر بگیرید. هدف بسته‌بندی تمامی اقلام داخل ظرف (بدون همپوشانی و چرخش) به گونه‌یی است که تمامی اقلام از چپ به راست و در ردیف‌هایی که تشکیل یک سطح می‌دهند چیده شوند. درون هر سطح اقلام به گونه‌یی چیده شوند که کف آنها تراز باشد. سطح اول در منتهی الیه پایینی ظرف قرار می‌گیرد و طول بزرگ‌ترین مستطیل در سطح قبلی، کفت سطح بعدی را تعیین می‌کند (شکل ۵ ب). یک بسته‌بندی شدنی به گونه‌یی است که مجموع طول‌های بلندترین اقلام در سطوح مختلف از L کمتر باشد. به علاوه در هر سطح، مجموع عرض‌های مستطیل‌های قرار گرفته در آن سطح باید از W کمتر باشد. شکل‌های ۵ الف و ۵ ب، ترتیب طرح بسته‌بندی حاصل از $2DSVSCOL$ و $2DLSBP$ را نشان می‌دهد. در شکل ۵ ب، سطوح روی یکدیگر از طریق برش‌های افقی تشکیل می‌شوند. البته به طریقی دیگر نیز می‌توان یک جواب برای $2DSVSCOL$ از طریق حل $2DLSBP$ به دست آورد. چنان که در شکل ۵ ج نشان داده شده است، ایده اصلی استفاده از برش‌های عمودی است. در این شکل سطوح از چپ به راست کنار یکدیگر قرار گرفته‌اند. اولین سطح به صورت عمودی، روی دیواره سمت چپ ظرف قرار می‌گیرد و انتهای عرض مستطیلی که عریض‌ترین مستطیل در سطح است، نقطه‌ی شروع سطح بعدی است. در اینجا یک بسته‌بندی شدنی به گونه‌یی است که مجموع عرض‌های عریض‌ترین مستطیل‌ها در سطوح مختلف از مقدار W تجاوز کند. درون هر سطح نیز مجموع طول‌های مستطیل‌های قرار گرفته در آن سطح نباید از L متتجاوز شود.

تمامی آنچه که تاکنون به دست آورده‌ایم آن است که به جای حل سیستم نامعادلات $2DSVSCOL$ ، که کار ساده‌یی نیست، می‌توان یک تعداد مسئله‌ی $2DLSBP$ را بر اساس منطق سطح‌بندی با برش‌های افقی و عمودی حل کرد. به این ترتیب که تعدادی ULC با اشکال مختلف برای هر سفارش به صورت تصادفی تولید شده و اقلام مستطیل شکل نظری آنها (در سیستم مختصات $x-y$ ، توسط حل دو نمونه مسئله‌ی $2DLSBP$ با برش‌های افقی و عمودی بسته‌بندی می‌شوند. این فرایند K بار تکرار می‌شود. اگر یکی از این طرح‌های شدنی بسته‌بندی شدنی باشد، آنگاه مجموعه‌ی محدودیت‌های $2DSVSCOL$ هم شدنی خواهد بود. برای حل مسئله‌ی $2DLSBP$ با برش‌های افقی یا عمودی،

۴.۴ ساز و کار بررسی شدنی بودن طرح بارگیری سفارشات درون خودروهای حامل

چنان که در شکل ۴ مشاهده می‌شود، شدنی بودن طرح بارگیری از نظر محدودیت وزن در باکس \pm بررسی می‌شود. هنگامی که در الگوریتم «بهترین بازارش» افزودن یک سفارش به خودروی حامل صورت می‌پذیرد، ابعاد ULC می‌تواند به صورت nw_m, nl_m و $[nl_m nw_m, f_m]$ تعیین شود. این مقادیر می‌توانند از طریق حل سیستم معادلات و نامعادلات زیر که از آن به عنوان بارگیری دو بعدی سفارشات با شکل چیدمان قابل تغییر درون یک خودروی حامل ($2DSVSCOL$)^۸ تعییر می‌شود، تعیین شوند (۸ را در شکل ۴ ببینید).

$$xs_m - xs_{m'} \leq L_e(1 - a_{m,m'}) - nl_m pw_m \quad (43)$$

$$ys_m - ys_{m'} \leq W_e(1 - b_{m,m'}) - nw_m pl_m \quad (44)$$

$$xs_m \leq L_e - nl_m pw_m \quad m \in M_e \quad (45)$$

$$ys_m \leq W_e - nw_m pl_m \quad m \in M_e \quad (46)$$

$$a_{m,m'} + a_{m',m} + b_{m,m'} + b_{m',m} \geq 1 \quad m, m' \in M_l, \quad (47)$$

$$nl_m = \sum_{r=1}^{r_{\max}} 2^{r-1} * bl_{m,r} \quad m \in M_e \quad (48)$$

$$nw_m = \sum_{s=1}^{s_{\max}} 2^{s-1} * bw_{m,s} \quad m \in M_e \quad (49)$$

$$blw_{m,r,s} \leq (bl_{m,r} + bw_{m,s})/2 \quad m \in M_e, r = 1, \dots, r_{\max}, s = 1, \dots, s_{\max} \quad (50)$$

$$blw_{m,r,s} \geq (bl_{m,r} + bw_{m,s}) - 1 \quad m \in M_e, r = 1, \dots, r_{\max}, s = 1, \dots, s_{\max} \quad (51)$$

$$\sum_{r=1}^{r_{\max}} \sum_{s=1}^{s_{\max}} 2^{r+s-1} * blw_{m,r,s} \geq \lceil f_m / Nh_{m,e} \rceil \quad m \in M_e \quad (52)$$

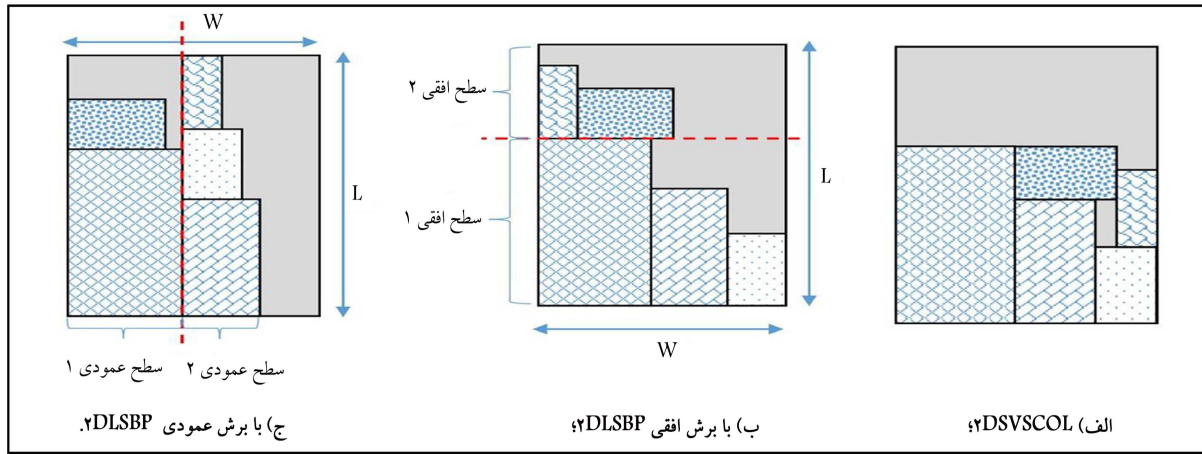
$$\sum_{r=1}^{r_{\max}} \sum_{s=1}^{s_{\max}} 2^{r+s-1} * blw_{m,r,s} - (1 - \varepsilon) nw_m \leq \lceil f_m / Nh_{m,e} \rceil \quad m \in M_e \quad (53)$$

$$a_{m,m'}, b_{m,m'}, bl_{m,r}, bw_{m,s}, blw_{m,r,s} \in \{0, 1\}$$

$$xs_m, ys_m \geq 0 \quad (54)$$

$$nl_m, nw_m \geq 0, \text{ integer}$$

در محدودیت‌های فوق، $s_{\max} = \left\lceil \log_2^{\frac{W_e}{pl_m} + 1} \right\rceil$ و $r_{\max} = \left\lceil \log_2^{\frac{L_e}{pw_m} + 1} \right\rceil$ مجموعه‌ی سفارشات تخصیص یافته به خودروی حامل e، و L_e و W_e ترتیب طول و عرض فضای بارگیری خودروی حامل e هستند. خاطرنشان می‌شود که مجموعه‌ی محدودیت‌های ۴۳ تا ۵۴ قابل مقایسه با محدودیت‌های ۲۲ تا ۲۶، ۲۸، ۲۱ و ۳۷ هستند. تنها تقاضت آن است که در اینجا با مسئله‌ی بارگیری، فقط درون یک خودروی حامل مواجه‌ایم و از این رو اندیس k دیگر وجود نخواهد داشت. به علاوه، در اینجا محتویات خودروی حامل معلوم بوده



شکل ۵. یک بسته‌بندی شدنی بر اساس قسمت‌های الف، ب و ج.

از الگوریتم‌های بهترین برازش کاهشی (BFD) 11 به صورت زیر استفاده ساختار کلی الگوریتم بررسی شدنی بودن طرح باگیری (LCF) در ادامه آمده است.

• الگوریتم *LFC*

شروع

مقادیر اولیه را برای K , W_e , f_m , $Nw_{m,e}$, $Nh_{m,e}$ و M_e تعیین کنید:

به ازای هر سفارش $m \in M_e$

به ازای i از ۱ تا

$$l_i \leftarrow \left\lceil \left\lceil \frac{f_m}{Nh_{m,e}} \right\rceil \right\rceil / i \\ w_i \leftarrow i$$

زوج مرتب (l_i, w_i) را ذخیره کنید;

پایان به ازای

پایان به ازای

به ازای k از ۱ تا K

به ازای هر سفارش $m \in M_e$

یکی از زوج مرتب‌های ذخیره شده برای سفارش m را به تصادف انتخاب کرده و آن را به صورت (a,b) در نظر بگیرید:

$$nl_m \leftarrow a$$

$$nw_m \leftarrow b$$

پایان به ازای

$rand \cdot 5 / 5 < rand$

الگوریتم *BFDH* را اجرا کنید؛

مجموع طول‌های بلندترین مستطیل‌های واقع در سطوح

$$L_T \leftarrow$$

$$L_T < L_e$$

طرح باگیری شدنی \rightarrow خروجی؛

الگوریتم را متوقف کرده و خارج شوید؛

پایان اگر

در غیر این صورت

الگوریتم *BFDV* را اجرا کنید؛

مجموع عرض‌های عریض‌ترین مستطیل‌های واقع در سطوح عمودی $\leftarrow W_T$

شروع

مقادیر اولیه را برای f_m , W_e , pwm , plm , nw_m و M_e تعیین کنید؛

اگر در حال اجرای الگوریتم *BFDH* هستید

ظرفیت سطح $\rightarrow W_e$:

در غیر این صورت اگر در حال اجرای الگوریتم *BFDV* هستید

ظرفیت سطح $\rightarrow L_e$:

پایان اگر

به ازای هر سفارش در M_e ULC نظیر آن را با ابعاد

در نظر بگیرید؛

تصویر *ULC*‌های مربوط به سفارشات را در صفحه $x-y$ به دست آورده و

مستطیل‌های نظیر آنها را در نظر بگیرید (شایان ذکر است که ابعاد يك *ULC*

برحسب تعداد پالت و ابعاد مستطیل‌های نظیر آنها در صفحه $x-y$ ، برحسب متر

بیان می‌شود؛

مستطیل‌ها را برحسب مقدار $m \in M_e$ $nl_m pw_m$ (در الگوریتم *BFDH*) یا

مقدار $m \in M_e$, $nw_m pl_m$ (در الگوریتم *BFDV*) از بزرگ به کوچک مرتب کنید؛

مستطیل m را از ابتدای لیست برداشته و آن را در نخستین سطح افقی (در الگوریتم *BFDH*) یا سطح عمودی (در الگوریتم *BFDV*) که دارای کمینه مقدار ظرفیت

سطح باقی مانده‌ی بزرگ‌تر از مقدار $nw_m pl_m$ (در الگوریتم *BFDH*) یا مقدار

$nl_m pw_m$ (در الگوریتم *BFDV*) است قرار دهد. اگر این مستطیل در هیچ یک

از سطوح‌های افقی (در الگوریتم *BFDH*) یا سطح عمودی (در الگوریتم *BFDV*) موجود قرار نگرفت، یک سطح افقی (در الگوریتم *BFDH*) یا سطح عمودی (در

الگوریتم *BFDV*) جدید روی بالاترین سطح (در الگوریتم *BFDH*) یا در سمت

راست آخرین سطح عمودی (در الگوریتم *BFDV*) ایجاد کرده و مستطیل مربوطه

را در آن قرار دهد. این گام را تا وقتی که تمامی مستطیل‌ها به یک سطح تخصیص

باشند ادامه دهد؛

پایان

حامل موجود باشد، آنگاه P برابر ۱ است. I' مجموعه‌ی گره‌های مبدأ و مقصد متناظر با سفارشات درون خودروی حامل e است. ns تعداد گره‌های مبدأ (تأمین‌کنندگان) منحصر به فرد متناظر با سفارشات است. سایر متغیرها نظیر همتای خود در محدودیت‌های ۱ تا ۲۱ و پس از حذف اندیس k قابل تعریف هستند. چنان که پیش‌تر گفته شد، مدل ریاضی ۵۵ تا ۶۵ به بهینه‌سازی مسیر برای یک خودروی حامل با محتویات معلوم می‌پردازد. این مدل می‌تواند هزینه‌ی حمل و نقل مرتبط با مسیر بهینه را تعیین کند. همچنین، از این مدل می‌توان برای بررسی این که آیا پس از افزودن یک سفارش به محتویات خودروی حامل، محدودیت‌های پنجره‌ی زمانی برآورده می‌شوند یا خیر استفاده کرد. بدین منظور کافی است تنها یک جواب شدنی برای مجموعه‌ی محدودیت‌های ۵۶ تا ۶۵ یافته شود.

هنگامی که تعداد سفارشات تخصیص یافته به خودروی حامل اندک باشد، استفاده از مدل برنامه‌ریزی ریاضی برای بررسی شدنی بودن مسیر می‌تواند از نظر محاسباتی به صرفه باشد؛ در غیر این صورت استفاده از آن توصیه نمی‌شود. شایان ذکر است که مدل ۶۵-۵۵ بايد به تعداد زیاد ($O(nm \times nk)$) بار در بدترین حالت در هر بار اجرای الگوریتم «بهترین هزاران بار در هر بار اجرای الگوریتم GES حل شود. نتایج محاسباتی اولیه نشان از آن دارند که استفاده از این روش از نظر محاسباتی به صرفه نیست. روش دیگری که برای بررسی شدنی بودن محدودیت‌های پنجره‌های زمانی سفارشات و تعیین مسیر بهینه وجود دارد بر اساس شمارش کامل است. در این روش تمامی مسیرهای ممکن برای خودروی حامل ساخته شده و مسیرهای شدنی برحسب محدودیت‌های پنجره‌ی زمانی حذف می‌شوند. در نهایت، مسیر شدنی که دارای کمترین هزینه است به عنوان مسیر بهینه انتخاب می‌شود. خوب‌بختانه در عمل، سیستم توزیع قطعات خودرو دارای این ویژگی است که تعداد گره‌های تأمین‌کنندگان/کارخانه موتراز که توسط یک خودروی حامل طی یک روز ملاقات می‌شوند نسبتاً اندک است و بنابراین، روش شمارش کامل می‌تواند از نظر محاسباتی فوق العاده به صرفه باشد.

۵. نتایج محاسباتی

در این بخش به سنجه اثربخشی مدل برنامه‌ریزی ریاضی و الگوریتم معروفی شده با استفاده از داده‌های جمع‌آوری شده از اداره لجستیک داخلی گروه خودروسازی سایپا می‌پردازیم. به طور خاص می‌خواهیم برای اثربخشی سیستم لجستیک میلکران در قیاس با استراتژی ارسال مستقیم پردازیم. در این بخش نخست در خصوص تحیلی داده‌های دنیای واقعی و رویه تولید نمونه مسائل بحث می‌شود. سپس از نرم‌افزار ۲۴.۱.۳ GAMS/CPLEX به طور خاص می‌خواهیم برای حل مدل MILP روی یک رایانه دسکتاپ با مشخصات i7 Core ۳.۴۰ GHz و ۳۲ گیگابایت رم استفاده شده و نتایج محاسباتی گزارش می‌شوند. به علاوه الگوریتم GES در محیط نرم‌افزار متلب برنامه‌نویسی شده و عملکرد آن گزارش می‌شود.

۵.۱. مطالعه موردی در گروه خودروسازی سایپا

اداره‌ی لجستیک داخلی در گروه خودروسازی سایپا، مسئول فراهم آوردن داده‌های مورد نیاز راجع به فهرست تأمین‌کنندگان، فهرست قطعات سفارشات همراه با مشخصه‌هایی نظیر تعداد پالت‌های سفارش، وزن سفارش، نوع پالت و غیره، پنجره‌های زمانی و فهرست نقاط تحویل است. مسئله عبارت است از جمع‌آوری تمامی سفارشات از تأمین‌کنندگان و توزیع آنها به انبارهای مرکزی یا کارخانجات موتراز. به طور خاص،

اگر $W_T < W_e$

طرح بازگیری شدنی \leftarrow خروجی؛

الگوریتم را متوقف کرده و خارج شوید؛

پایان اگر

پایان بهارزی

پایان

۵.۴. ساز و کار بررسی شدنی بودن مسیر خودروهای حامل

چنان که قبلاً طرح شد، استراتژی اتخاذ شده در الگوریتم GES، حفظ شدنی بودن جواب‌ها و عدم تولید جواب‌های نشدنی در خلال اجرا است. با فرض معلوم بودن محتویات یک خودروی حامل، هنگامی که طرح بازگیری شدنی باشد (بخش ۴-۴ را ببینید)، نوبت به بررسی شدنی بودن مسیر از نقطه‌نظر پنجره‌های زمانی می‌رسد (‡ را در شکل ۴ ببینید).

همانند آنچه که در مورد بررسی شدنی بودن طرح بازگیری صورت پذیرفت، بررسی شدن بودن مسیر می‌تواند به دو طریق صورت پذیرد. نخستین روش براساس حل مدل ریاضی مسئله فروشنده دورگرد با پنجره‌ی زمانی برای سفارشات است. مدل برنامه‌ریزی خطی عدد صحیح مختصّ زیر به تعیین مسیر بهینه برای یک خودروی حامل با محتویات معلوم می‌پردازد. از آنجاکه این مدل تنها برای یک خودروی حامل حل می‌شود (خودروی حامل e)، از اندیس k صرف نظر می‌شود.

$$\text{Minimize} \sum_{i \in I'} \sum_{j \in I'} (1 + 0.5P) \cos t_{i,j,e} X_{i,j} \quad (55)$$

$$\text{s.t.} \quad (56)$$

$$\sum_{j \in I'} X_{i,j} = 1 \quad i \in I' \quad (57)$$

$$\sum_{i \in I'} X_{i,j} = 1 \quad i \in I' \quad (58)$$

$$u_i - u_j + nx_{ij} \leq n - 1 \quad i \in I', h \in I', i, j \geq 2, i \neq j \quad (59)$$

$$X_{i,i} = 0 \quad i \in I' \quad (60)$$

$$\sum_{\substack{i \in I', i \neq 1 \\ i \leq ns' + 1}} \sum_{\substack{j \in I' \\ j > ns' + 1}} X_{i,j} \leq 1 \quad (61)$$

$$T_i + \sum_{m \in O'_i} LT_m f_m + \sum_{m \in D'_i} UT_m f_m + time_{i,j,e} \quad (62)$$

$$i \in I', j \in I', \leq T_j + M_e(1 - X_{i,j}) \quad j \neq 1, i \neq j \quad (63)$$

$$T_j \geq T_i \quad m \in M_e, i = Orig_m, j = Dest_m \quad (64)$$

$$T_i \geq lb_m \quad m \in M_e, i = Orig_m, \quad (65)$$

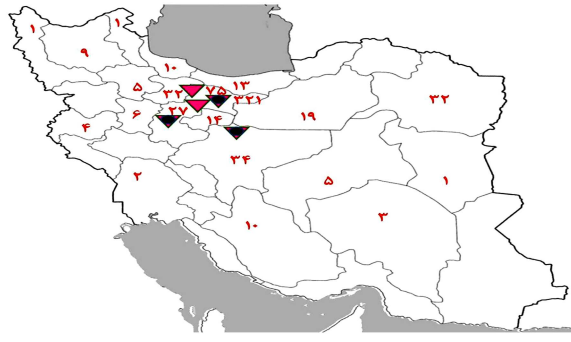
$$T_i \leq ub_m \quad m \in M_e, i = Dest_m \quad (66)$$

$$X_{i,j} \in \{0, 1\}, \quad T_{i,u_i} \geq 0 \quad (67)$$

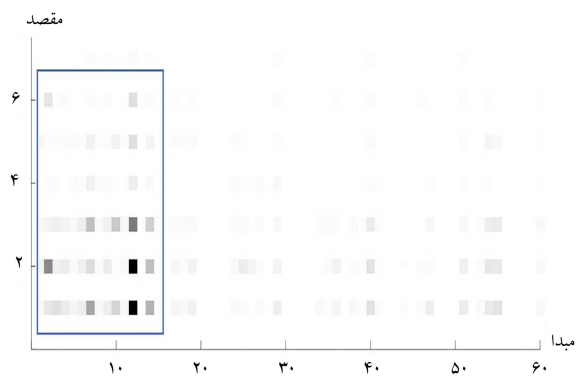
در مدل ریاضی فوق، از متغیر u_i برای حذف زیرشکنکه استفاده می‌شود.

تعداد گره‌های ملاقات شده توسط خودروی حامل است. M_e مجموعه‌ی سفارشات

تخصیص یافته به خودروی حامل e است. اگر کمینه یک پالت فلزی درون خودروی



شکل ۶. تعداد و توزیع تأمین‌کنندگان فعال در استان‌های مختلف کشور.



شکل 7. شدت جریان پالت میان نواحی مختلف.

رسم شده است. در این نمودار از طیف رنگی سفید تا سیاه برای تبیین بزرگی شدت حمل و نقل استفاده شده است. سیاه به منزله حمل و نقل زیاد و سفید به معنی حمل و نقل صفر است. مابین این دو طیف شدت رنگ با بزرگی میزان حمل و نقل متناسب است. در شکل ۷ می‌توان وجود قانون پارتو را ملاحظه کرد. عده‌های جریان تأمین توسط تعداد اندکی از نواحی پشتیبانی می‌شود. ۸۰ درصد محموله‌ها از ۱۲ ناحیه اول (از بین ۶۰ ناحیه) به سمت ۳ کارخانه در کاشان، تهران و ساوه و ابزارهای مرکزی ارسال می‌شوند. بدین ترتیب می‌توان استفاده از سیستم توزیع میلکران را برای این ۱۲ ناحیه توصیه کرد و از گستره‌ی شبکه‌ی تأمین در برنامه‌ریزی توزیع کاست. چنان‌که در دستورالعمل حمل و نقل سایپا آمده است، سه نوع وسیله‌ی نقلیه برای حمل و نقل محموله‌های سفارشات مورد استفاده قرار می‌گیرند. مشخصات وسایل نقلیه در جدول ۲ آمده است.

۲.۵. تولید مسائل نمونه

تولید مسائل نمونه به طریقی صورت می‌پذیرد که شرایط دنیای واقعی را متنبادرساند. برای تولید یک نمونه مسئله، به یک پارامتر به نام تعداد سفارشات نیاز داریم. به ازای هر سفارش، یک شماره به تصادف از میان تمامی کدهای موجود در پایگاه داده انتخاب می‌شود. بر اساس این کد موجودی، کد تأمین‌کننده و مشخصات پالت مربوط به قطعه تعیین می‌شود. سپس تعداد قطعات ارسالی (و بنا بر این تعداد پالت‌های مورد نیاز) و کد محل تحویل تعیین می‌شوند. در نهایت پنجره‌های زمانی برای سفارشات در نظر گرفته می‌شود. بدین ترتیب، نمونه مسائل تولید شده می‌تواند به نحو مناسب، انعکاسی از مسئله‌ی توزیع روزانه قطعات در شبکه‌ی لجستیک باشد. ۳۰ نمونه مسئله‌ی توزیع تصادفی تولید شده است که ابعاد آنها بر حسب تعداد سفارشات بین ۶ تا ۱۰۰ سفارش، متغیر است ($nm = 6, 7, 8, 9, 10, 20, 30, 40, 50$, ۱۰۰).

۳.۵. نتایج محاسباتی

در این بخش، عملکرد مدل ریاضی و الگوریتم GES روی نمونه مسائل تولید شده مورد بررسی قرار می‌گیرد. پارامترهای الگوریتم GES به صورت زیر تنظیم شده‌اند. بیشینه تعداد تکرار = $K = ۱۰$ ، $\alpha = ۰.۹۹۷$ ، $r = ۲$ ، $\lambda = ۱۰$ ، $\beta = ۵$ ، $\alpha^* = ۱$. الگوریتم GES نمونه‌ی مسائل تولید شده توسط نرم‌افزار GAMS/CPLEX و الگوریتم GES حل شده و مقادیر تابع هدف و زمان‌های اجرا در جدول ۳ گزارش شده است. برای حل کننده GAMS/CPLEX، تنها مقادیر تابع هدف و زمان‌های اجرا گزارش می‌شوند. برای GES، مقادیر کمینه، متوسط، بیشینه و ضریب تغییرات (C.V.) مقادیر تابع هدف در ۱۰ بار اجرا گزارش می‌شوند. شرط خاتمه برای GAMS/CPLEX ۳۶۰۰ ثانیه در نظر گرفته می‌شود.

نتایج جدول ۳ نشان می‌دهد که برای مسائل با ابعاد بسیار کوچک با ۶ سفارش، مدل برنامه‌ریزی خطی عدد صحیح مختلط معرفی شده می‌تواند به جواب بهینه برسد.

جواب مسئله عبارت است از تعیین تعداد خودروهای حامل مورد استفاده، سفارشاتی که باید توسط هر خودروی حامل برداشت و تحویل شوند، نحوه چیدمان پالت‌های سفارش درون خودروهای حامل و برنامه‌ریزی مسیر حرکت خودروهای حامل.

شکل ۶ بیان‌گر توزیع جغرافیایی تأمین‌کنندگان در سراسر کشور است. ۴۸۰ تأمین‌کننده‌ی فعال، ۳ کارخانه‌ی مونتاژ و ۵ انبار مرکزی را تأمین می‌کنند. البته سایر مقاصد تحویل نیز وجود دارند که در این شکل به نمایش در نیامده است. اداره‌ی لجستیک داخلی، نقشه‌ی کشور را به شصت ناحیه تقسیم کرده است. تأمین‌کنندگان درون هر ناحیه، تشکیل یک خوشه می‌دهند. هزینه‌های حمل و نقل، بر مبنای داده‌های ناحیه‌یی برای هر نوع خودروی حامل حساب می‌شود.

چنان‌که پیش‌تر اشاره شد، از استراتژی ارسال مستقیم توسط سایپا استفاده می‌شود. این استراتژی به منظور کاهش پیچیدگی‌های مدیریت ارسال اقتباس شده است. در استراتژی ارسال مستقیم، هر یک از تأمین‌کنندگان خود مسئولیت ارسال مستقیم سفارشات به نقاط تحویل را بر عهده دارد؛ بدون این که خودروی حامل ارسالی را با تأمین‌کننده دیگری به اشتراک بگذارد. بنا بر این، روانه‌سازی خودروهای حاملی با ظرفیت نیمه‌بر به تعدد رخ می‌دهد. نتایج ناشی از تحلیل داده‌ها نشان می‌دهد که ۹۲ درصد از محموله‌های ارسالی از طریق ارسال مستقیم تحویل شده‌اند و مابقی از محل ارسال شده‌اند.

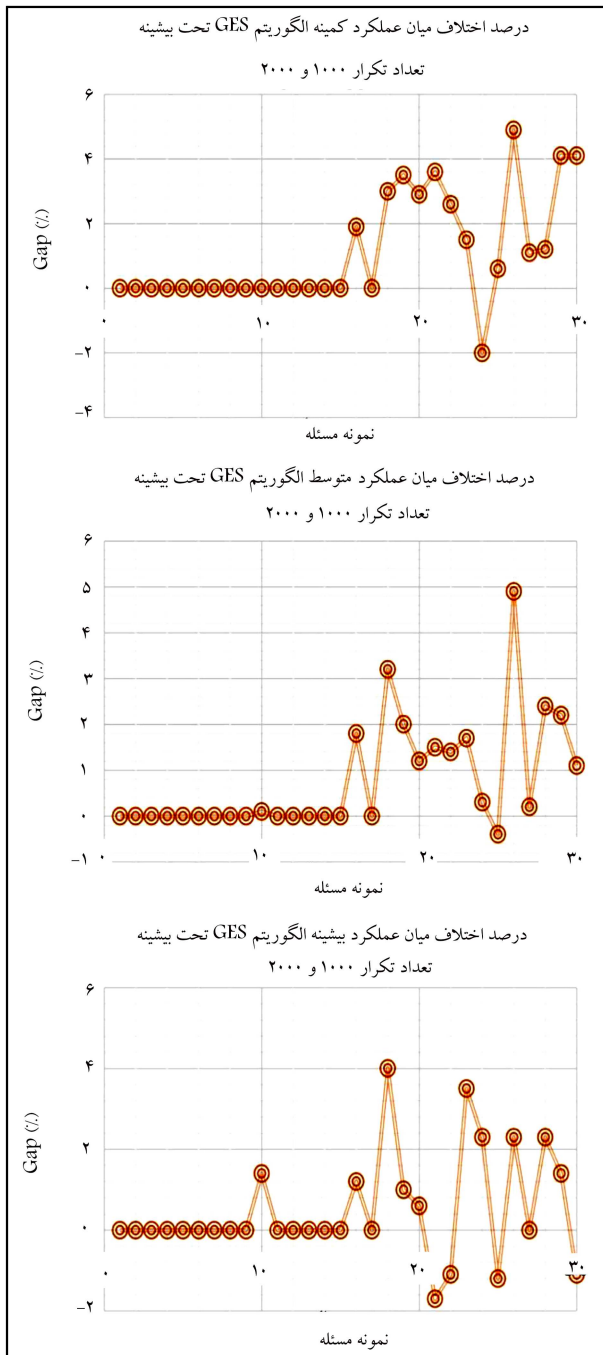
در ادامه، به تحلیل درجه‌بندی قطعاتی که در شبکه‌ی لجستیک جریان دارند می‌پردازیم. حجم قابل توجهی از قطعات (%) از درجه‌ی B هستند؛ یعنی قطعات با ابعاد نسبتاً کوچک و تقاضای نسبتاً ثابت. لجستیک میلکران برای توزیع قطعات این درجه مناسب است. برای تعیین شدت حمل و نقل (بر حسب تعداد پالت) میان مبادی و مقاصد، یک نمودار شدت مطابق شکل ۷ با استفاده از داده‌های در دسترس

جدول ۳. نتایج مدل MILP، الگوریتم GES و استراتژی ارسال مستقیم.

ردیف	ردیفه ارسال مستقیم	ردیفه ارسال کاهش میزان	MILP		GES						
			نمونه مسئله	تعداد منشاران	مقدار تابع هدف	(%)	زمان (س)	کمپنه (٪)	تفاضل (٪)	بیانه (٪)	C.V (%)
۱	۶	۱۲۱۵	۱۱۰۹	۸۴۰۰	۸۴۰۰	۸۴۰۰	-	۳۲.۳	۳۰.۹		
۲	۶	۱۲۴۵	۱۲۸۷	۶۹۰۰	۶۹۰۰	۶۹۰۰	-	۴۴.۵	۴۴.۶		
۳	۶	۱۷۰۰	۳۵۱۸	۱۲۹۰۰	۱۲۹۰۰	۱۲۹۰۰	-	۳۹.۸	۲۴.۱		
۴	۷	۱۱۰۰	۳۶۰۰	۷۳۵۰	۷۳۵۰	۷۳۵۰	-	۶۰.۳	۳۳.۲		
۵	۷	۱۷۴۵	۳۶۰۰	۸۹۰۰	۸۹۰۰	۸۹۰۰	-	۴۹.۶	۴۹		
۶	۷	۱۵۴۵	۳۶۰۰	۱۳۹۵۰	۱۳۹۵۰	۱۳۹۵۰	-	۴۶.۷	۹.۷		
۷	۸	۱۹۰۰	۳۶۰۰	۱۸۹۵۰	۱۸۹۵۰	۱۸۹۵۰	-	۶۶.۲	۰.۳		
۸	۸	۱۸۰۰	۳۶۰۰	۱۰۳۵۰	۱۰۳۵۰	۱۰۳۵۰	-	۴۵.۲	۴۲.۵		
۹	۸	۱۱۱۰	۳۶۰۰	۷۳۵۰	۷۳۵۰	۷۳۵۰	-	۳۹.۳	۳۳.۸		
۱۰	۹	۲۲۲۵	۳۶۰۰	۱۴۲۵۰	۱۴۲۵۰	۱۴۲۵۰	-	۴۵.۳	۳۶		
۱۱	۹	۲۲۱۰	۳۶۰۰	۱۵۳۵۰	۱۵۳۵۰	۱۵۳۵۰	-	۴۸.۸	۳۰.۰		
۱۲	۹	۱۵۰۰	۳۶۰۰	۱۳۹۵۰	۱۳۹۵۰	۱۳۹۵۰	-	۵۹.۱	۷		
۱۳	۱۰	۱۸۰۰	۳۶۰۰	۱۴۵۰	۱۴۵۰	۱۴۵۰	-	۳۹.۲	۱۹.۲		
۱۴	۱۰	۱۹۱۰	۳۶۰۰	۱۶۲۵۰	۱۶۲۵۰	۱۶۲۵۰	-	۷۲.۲	۱۴.۹		
۱۵	۱۰	۱۵۱۰	۳۶۰۰	۱۱۸۰۰	۱۱۸۰۰	۱۱۸۰۰	-	۶۳.۸	۲۱.۹		
۱۶	۲۰	۳۵۳۵	۳۶۰۰	۲۳۳۰۰	۲۴۰۴۵	۲۴۹۰۰	۲.۴۶	۱۳۳.۷	۳۴.۱		
۱۷	۲۰	۳۶۱۵	۳۶۰۰	۲۵۸۵۰	۲۶۵۲۰	۲۷۰۰۰	۱.۴۳	۱۴۰.۲	۲۸.۵		
۱۸	۲۰	۴۰۸۰	۳۶۰۰	۲۵۳۵۰	۲۵۹۲۰	۲۶۵۵۰	۱.۷۴	۱۱۳.۴	۳۷.۹		
۱۹	۳۰	۵۲۰۵	۳۶۰۰	۲۸۳۰۰	۳۹۵۶۵	۴۰۶۰۰	۱.۵۱	۱۶۶.۲	۲۶.۴		
۲۰	۳۰	۵۷۸۰	۳۶۰۰	۳۷۸۰۰	۳۹۴۸۰	۴۱۰۰۰	۲.۳۳	۲۰۷.۷	۳۴.۶		
۲۱	۳۰	۴۷۲۵	۳۶۰۰	۳۳۰۰۰	۳۴۲۵۵	۳۶۳۰۰	۲.۸۶	۲۰۷.۴	۳۰.۰		
۲۲	۴۰	۶۶۰۰	۳۶۰۰	۴۷۰۵۰	۴۸۷۸۰	۵۰۳۵۰	۱.۹۹	۲۳۰.۲	۲۸.۷		
۲۳	۴۰	۷۳۸۰	۳۶۰۰	۴۵۲۰۰	۴۷۱۲۰	۴۸۱۵۰	۱.۸۳	۲۹۵.۱	۳۸.۸		
۲۴	۴۰	۶۱۶۰	۳۶۰۰	۴۶۸۰۰	۴۷۵۴۵	۴۸۳۰۰	۰.۹۲	۲۸۱.۵	۲۴		
۲۵	۵۰	۸۸۱۰	۳۶۰۰	۵۷۹۰۰	۶۰۰۶۰	۶۳۰۰۰	۲.۹۹	۳۶۰.۷	۳۴.۳		
۲۶	۵۰	۸۹۹۵	۳۶۰۰	۵۱۵۰۰	۵۶۰۷۵	۵۹۵۵۰	۴.۴۷	۲۷۳۰.۷	۴۲.۷		
۲۷	۵۰	۸۲۶۵	۳۶۰۰	۵۶۲۵۰	۵۸۱۱۵	۵۹۸۰۰	۲.۱۴	۳۶۰.۷	۳۱.۹		
۲۸	۱۰۰	۱۶۹۲	۳۶۰۰	۱۱۵۱۰۰	۱۱۸۵۹۰	۱۲۱۳۰۰	۱.۶۱	۶۴۰.۵	۳۲		
۲۹	۱۰۰	۱۴۶۷	۳۶۰۰	۱۰۲۸۰۰	۱۰۷۲۴۰	۱۱۰۱۵۰	۲.۲۱	۶۱۶.۷	۲۹.۹		
۳۰	۱۰۰	۱۶۰۰	۳۶۰۰	۱۱۸۲۵۰	۱۲۵۷۷۵	۱۳۲۴۵۰	۲.۹۹	۶۷۲.۵	۲۶.۱		
متوسط روى تمامى نمونه مسائل										۲۹/۲۵	
متوسط روى نمونه مسائل غير كوچك (۱۶-۳۰)										۳۲/۰۰	

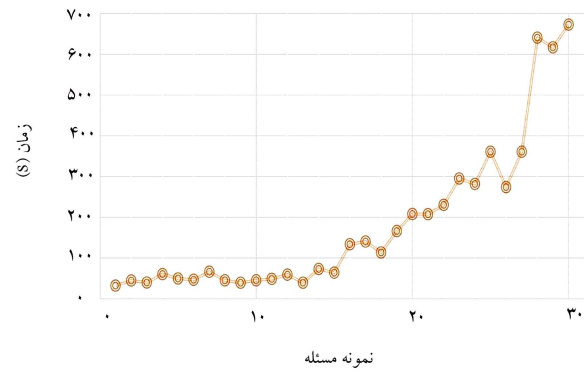
چنان‌که ملاحظه می‌شود، روی اغلب نمونه مسائل کوچک (۱۳ مسئله از ۱۵ مسئله) بهترین مقدار تابع هدف یافته شده توسط GES با مقدار تابع هدف گزارش شده برای مدل MILP برابر است. روی دو نمونه مسئله باقی مانده، بهترین مقدادیر یافته شده توسط الگوریتم GES از آنجه برای مدل MILP یافته شده بهتر است. نتایج نمایانگر آن است که با صرف مقدار زمان اندک، GES قادر به یافتن جواب‌های با کیفیت عالی و با ثبات عملکرد است. ثبات در عملکرد، با استناد به مقدادیر صفر برای ضریب تغییرات قابل اثبات است. روی هر ۱۵ مسئله GES مقادیری یکسان را برای تابع هدف در تمامی ۱۰ اجراآگزارش می‌کند. این سطح از

برای مابقی مسائل، بهینگی نتایج قابل تایید نیست. با این حال، بهترین جواب‌های یافته شده توسط GAMS/CPLEX روی نمونه مسائل کوچک (مسئله ۱ تا ۱۵)، همگی یکسان یا نزدیک به جواب‌های یافته شده توسط الگوریتم GES هستند. تنها مورد استثنای نمونه مسائل ۱۲ و ۱۳ هستند. در اینجا حل کننده GAMS/CPLEX پیش از رسیدن به جواب بهینه برای مدل MILP متوقف شده است. بنابراین می‌توان مطمئن بود که روی این دو نمونه مسئله، خروجی یافته شده برای مدل MILP قطعاً بهینه نیست. شایان ذکر است که GAMS/CPLEX قادر به یافتن هیچ جواب شدنی برای نمونه مسائل ۳۰-۱۶ در مدت ۳۶۰۰ تا ۱۶۰۰ ثانیه نیست.



شکل ۹. مقایسه‌ی درصد اختلاف میان عملکرد الگوریتم GES تحت دو مقدار مختلف برای بیشترین تعداد تکرار.

میلکران قابلیت کاهش ۳۲ درصدی در هزینه‌های تحمیل شده توسط استراتژی ارسال مستقیم را دارد. به منظور بررسی تأثیر پارامتر بیشینه تعداد تکرار در عملکرد الگوریتم GES، بیشینه تعداد تکرار را از ۲۰۰۰ به ۱۰۰۰ کاهش داده و الگوریتم را روی تمام نمونه مسائل مجدد اجرا می‌کنیم. درصد کاهش یا افزایش در مقادیر کمینه، متوسط و بیشینه‌ی مقدار تابع هدف، در شکل ۹ آمده است. مقادیر مشبّت دلالت بر عملکرد بهتر الگوریتم تحت بیشینه تعداد تکرار برابر ۲۰۰۰ نسبت به ۱۰۰۰ دارد. چنان‌که



شکل ۸. زمان اجرای الگوریتم GES روی ۳۰ نمونه مسئله.

عملکرد نشان‌دهنده‌ی آن است که الگوریتم GES می‌تواند بهینه‌سازی را روی نمونه مسائل کوچک به نحو احسن انجام دهد.

نکته‌ی قابل توجه آن است که عملکرد الگوریتم GES به گونه‌یی است که مقدار ضرایب تغییرات (C.V.) گزارش شده توسط آن بسیار کوچک است. ضرایب تغییرات یک معیار استاندارد برای تعیین درصد پراکندگی است. مقادیر کوچک ضرایب تغییرات بیان کننده آن است که رفتار جستجوی الگوریتم GES ثابت است. مقادیر ضرایب تغییرات روی نمونه مسائل کوچک، همگی برابر صفر هستند. این امر می‌بین آن است که الگوریتم همواره قابلیت یافتن جواب یکسان را در اجراهای مختلف دارد. روی نمونه مسائل بزرگ‌تر، مقادیر ضرایب تغییرات حول و حوش ۲ درصد نوسان می‌کنند. این مقدار به قدر کافی کوچک است که دلالت بر ثبات در عملکرد الگوریتم GES داشته باشد.

شکل ۸ روند حاکم بر زمان‌های اجرا را به نمایش می‌گذارد. زمان ثبت شده توسط الگوریتم GES روی هر نمونه مسئله، رسم شده است. نکته‌یی که در مورد زمان اجرا وجود دارد آن است که رفتار آن بر حسب تعداد سفارشات خطی است. برای GES داریم $R(nm) = 6/490^3 \times nm + 0/054$ و ضریب $R^2 = 0.999$ است. زمان اجرا بر حسب تعداد سفارشات است. بنابراین می‌توان نتیجه گرفت که زمان اجرای الگوریتم GES یکتابع خطی بر حسب تعداد سفارشات است.

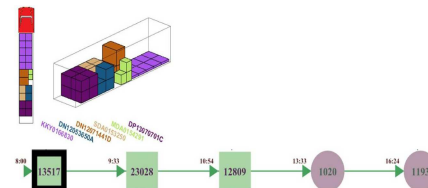
در جدول ۳، همچنین به مقایسه هزینه‌ی گزارش شده توسط الگوریتم GES برای مسئله‌ی لجستیک میلکران در قیاس با هزینه‌های ارسال مستقیم می‌پردازیم. از آن‌جا که نمونه مسئله ۱ تا ۳۵ به تصادف تولید شده‌اند، نتایج حاصل از اعمال استراتژی ارسال مستقیم روی آنها شبیه‌سازی شده است. البته اداره‌ی لجستیک سایپا نیز شیوه و نتایج این شبیه‌سازی را تأیید کرده است.

چنان‌که پیش‌تر ذکر شد، در استراتژی ارسال مستقیم هر تأمین‌کننده مسئول ارسال سفارشات مختص خود است. تأمین‌کننده می‌تواند تنها به تجمعی سفارشاتی که مقصد آنها در تهران است پردازد. سفارشاتی که به سایت‌های موتاشر در کاشان و ساوه ارسال می‌شوند نمی‌توانند در یک خودروی حامل قرار گیرند. از جدول ۳ می‌توان نتیجه گرفت که لجستیک میلکران از یک ظرفیت بالقوه برای کاهش هزینه‌ها برخوردار است. ستون آخر جدول ۳ درصد کاهش در هزینه‌های ارسال مستقیم را که از طریق الگوریتم GES قبل دست‌یابی است گزارش می‌کند. روی نمونه‌ی مسائل کوچک، مقدار درصد کاهش در هزینه‌ها از بسیار کم تا خیلی زیاد متغیر است. روی مسائل با ابعاد بزرگ‌تر، مقادیر درصد اختلاف از ثبات بیشتری برخوردارند. بر اساس نتایج به دست آمده روی نمونه مسائل غیرکوچک می‌توان دریافت که لجستیک

جدول ۴. نتایج روی مسائل با داده‌های واقعی.

هزینه‌ی ارسال مستقیم ($\times 10^3$)	<i>GES</i>					تعداد سفارات	میزان %
	<i>C.V</i> (%)	بیشینه ($\times 10^3$)	متوسط ($\times 10^3$)	کمینه ($\times 10^3$)			
۴۲۸۰۰	۴/۸۰	۵۷۵۰۰	۵۴۱۳۰	۴۸۸۰۰	۵۳	۱	
۷۷۵۰۰	۲/۰۳	۴۹۹۵۰	۴۸۵۸۰	۴۶۵۰۰	۴۴	۲	

خودرو در ساعت ۱۰:۵۴ به محل سازنده‌ی ۱۲۸۹ می‌رسد و ۸ پالت از سفارش DP ۱۳۰۷۰۷۰ ۱۰ برمی‌دارد. سپس تریلر در ساعت ۱۳:۳۳ به محل کارخانه‌ی ۱۰ ۲۰ رسیده و طبق برنامه‌ی درخواست پالت‌های مریبوطه را تحویل می‌دهد. همین طور پس از ترک محل کارخانه ۱۰:۲۰ به محل کارخانه‌ی ۱۱۹۳ رفته و در ساعت ۱۶:۲۴ به آن محل رسیده و پالت‌های سفارشات مریبوطه را تحویل می‌دهد.

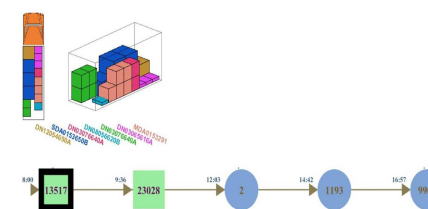


۶۔ نتیجہ گیری

در مطالعه‌ی حاضر یک مدل برنامه‌ریزی خطی عدد صحیح مختلط و روش حل رای مسئله‌ی لجستیک میلکاران در صنعت خودروسازی ارائه شده است. مهم‌ترین مشخصه‌ی مدل سازی ارائه شده آن است که با برگیری سفارشات با شکل چیدمان قابل تغییر درون خودروهای حامل را مد نظر قرار می‌دهد. از آن جا که سفارشات تنها نوسط تعداد پالت‌هایشان شناسایی می‌شوند، بازگیری آنها درون خودروهای حامل ممکن است در قالب اشکال مکعب شکل مختلف صورت پذیرد. به عنوان مثال یک سفارش با ۸ عدد پالت را می‌توان یک خودروی حامل در قالب یک مکعب بکار گیری کرد. انتخاب یکی از این اشکال برای سفارش و چیدمان پالت‌های آن درون خودروی حامل در قالب یک مکعب یک پارچه می‌توان از طریق متغیرهای تصمیم صورت پذیرد. لازم به ذکر است که مجموعه‌ی اشکال قابل تولید برای یک سفارش، با تغییر نوع خودروی حامل تعییر می‌یابد که این خود بر پیچیدگی‌های مسئله‌ی هنگامی که لاوگان نامتجانس است، می‌افزاید. از این طرح برگیری به عنوان طرح برگیری دو بعدی شکل قابل تغییر (SC2DL) یاد شد. سایر ملاحظات نظری ناوگان نامتجانس، حفاظت کردن هزینه برگشت پالت‌های خالی و محدودیت‌های پنجره‌ی زمانی نیز در مدل گنجانده شدند.

با درنظرگرفتن ماهیت مسئله، یک الگوریتم استراتژی تکاملی گروه‌بندی معرفی شد که قادر به حل مسائل با بعد بزرگ تراست. همچنین ازایده‌های «الگوریتم بهترین برآزش» را دست یابی به یک الگوریتم ابتکاری سازنده برای تولید جواب و حصول اطمینان از شدنی بودن آن (از نقطه نظر محدودیت‌های بارگیری و مسیر یابی) استفاده شد. عملکرد روش‌های معرفی شده با استفاده از داده‌های دنیای واقعی (که از اداره جوستیک گروه خودروسازی ساییا جمع‌آوری شده‌اند) مورد سنجش واقع شد. نتایج حساباتی گستره، حکایت از ارزشمندی سیستم لجستیک میلکران در قیاس با ستراتژی ارسال مستقیم دارد. همچنین نتایج حاصل از شبیه‌سازی‌های دلالت بر این دارد که یک پتانسیل بالقوه برای کاهش هزینه‌های ناشی از ارسال مستقیم، به میزان ۳۲ درصد به طور متوسط، از طریق استفاده از سیستم لجستیک میلکران حمد دارد.

نتایج این مطالعه تأییدی است بر این حقیقت که استفاده از تکنیک‌ها و مفاهیم حقوقی در عملیات می‌تواند منجر به حصول نتایج مطلوب در امر کاوش هزینه‌ها



شکل ۱۵. طرح بارگیری و مسیر یابی برای دو خودروی حامل منتخب در جواب تولید شده توسط الگوریتم GES.

مشاهده می شود، انتخاب تعداد تکرارها برابر 2000 در کل عملکرد بهتری را برای الگوییم به ارمغان می آورد. با این حال، قدر مطلق مقادیر اختلاف کمتر از 5 درصد است. البته روی نمونه مسائل کوچک همچنان خلافی وجود ندارد. بنابراین می توان نتیجه گرفت که حتی انتخاب مقدار 1000 برای بیشترین تعداد تکرار می تواند نتایج رضایت پذیری را فراهم آورد.

۱.۳.۵ نتایج روی مسائل با داده‌های واقعی

دو نمونه مسئله با داده واقعی توسط الگوریتم GES حل شده و نتایج در جدول ۴ آمده است. نخستین مسئله شامل ۵۳ سفارش و دومین مسئله شامل ۴۴ سفارش است. چنان که مشاهده می شود، یک ظرفیت بالقوه برای کاهش هزینه های ارسال مستقیم وجود دارد. با درنظر گرفتن بهترین عملکرد، GES قابلیت کاهش $47/4\%$ را در هزینه ها را برای مسئله ۱ و 40% را در هزینه ها را برای مسئله ۲ دارد. با درنظر گرفتن عملکرد متوسط، کاهش در هزینه ها به ترتیب برابر $41/7\%$ و $37/3\%$ است. در نهایت از نقطه نظر بدترین عملکرد، میزان کاهش به ترتیب برابر 38% و $25/3\%$ است.

در شکل ۱۰ طرح بارگیری و مسیریابی مربوط به دو خودروی حامل منتخب، در بهترین جواب یافته شده توسط الگوریتم GES، روی نمونه مستحلب دوم با ۴۴ سفارش، نشان داده شده است. در این شکل، طرح بارگیری سه بعدی برای هر خودروی حامل و مسیر حرکت آن آمده است (مرتعن نماد گره تأمین کننده و دایرہ ها نمایانگر گره های انبار و کارخانجات موتاز هستند). در جواب مربوطه از ۲ خودروی تریلر و ۹ خودروی خاور استفاده می شود. همچنین از هیچ خودروی واتسی استفاده نمی شود. به عنوان مثال، خودروی تریلر نخست به تأمین کننده ۱۳۵۱۷ مراجعه کرده و طبق برنامه‌ی برداشت، تعداد ۱۰ پالت از سفارش KKY۰۱۶۶۸۳۰، ۲ پالت از سفارش DN۱۲۰۷۱۴۴۱D و ۳ پالت از سفارش MDA۰۱۵۴۲۹۱ را برمی دارد. سپس این تریلر در ساعت ۹:۳۳ دقیقه به محل سازنده ۲۳۰۲۸ رسیده و ۳ پالت از سفارش SD۱۵۳۲۵۰ A و ۴ پالت از سفارش DN۱۲۰۵۳۶۵۰ دین بر می دارد. این

حمل و نقل قطعات از تأمین‌کنندگان نزدیک به یک درصد از ارزش هر خودروی تولیدی است که با توجه به حجم تولید سالیانه خودرو در شرکت سایپا، میزان این هزینه‌ها بسیار چشمگیر است. بنابراین بهبود جریان مواد و قطعات برای افزایش رضایت مشتری و کاهش هزینه‌ها، امری ضروری است. اولین راهکار برای کاهش هزینه‌های حمل و نقل، استقرار و طراحی یک شبکه‌ی توزیع مناسب و کارا است.

از جمله انتقاداتی که به سیستم تحويل بهنگام وارد است، افزایش ترافیک خودروهای حامل ارسالی و بعضی، کامل نبودن بر آنهاست. گرچه این سیستم موجب پایین نگاه داشتن سطح موجودی انبارها می‌شود، اما با توجه به افزایش توان ارسال قطعات، می‌تواند موجب هزینه‌های حمل شود. از این رو پیاده‌سازی سیستم لجستیک میلکران می‌تواند مکملی برای کابن‌بان باشد که دسترسی به سطح بهره‌برداری طرفیتی بیش از ۹۰ درصد را میسر می‌سازد.

نوشتار حاضر یک مبنای علمی و در عین حال کاربردی برای طراحی یک سیستم یک پارچه لجستیکی فراهم آورده است که در آن قطعات با حجم متوسط و کم (قطعات کلاس B و C) می‌توانند از طریق سیستم لجستیک میلکران تأمین شوند و قطعات حجمی (قطعات کلاس A) از طریق منطق ارسال مستقیم، از تأمین‌کننده به کارخانجات ارسال شوند.

نتایج حاصل از رویکرد حل معرفی شده در این نوشتار برای بهینه‌سازی مسیرهای میلکران، حکایت از وجود قابلیت کاهش بیش از ۳۰ درصدی هزینه‌های توزیع در صورت به کارگیری منطق میلکران دارد. به علاوه با استفاده از منطق چیدمان پالت‌های سفارشات با آرایش قابل تغییر، می‌توان در جهت افزایش بهره‌برداری از فضای بارگیری و کاهش تعداد خودروهای حامل استفاده برای توزیع گام برداشت. در مجموع، از طریق کاربرد استراتژی توزیع میلکران می‌توان به صورت توانانم از مزایای سیستم کابن‌بان بهره برد و هم رضایت تأمین‌کنندگان را در ارسال محموله‌های کوچک با تواتر بالا جلب کرد. البته پیاده‌سازی این استراتژی ممکن است برای شبکه‌ی تأمینی به وسعت شبکه‌ی تأمین گروه خودروسازی سایپا در ابتداد شوار باشد. آنچه که در عمل برای اجرای لجستیک میلکران لازم است، برنامه‌ریزی زمانی دقیق است به گونه‌یی که محموله‌ها در زمان‌های از پیش تعیین شده آماده‌ی بارگیری باشند. لذا موارد زیر ممکن است از دشواری‌های پیاده‌سازی این سیستم باشند که باید برای آن راهکار تدبیر کرد.

- از آن‌جا که لجستیک میلکران برای تأمین‌کنندگان قطعات با حجم کم قابل کاربرد است و این گونه تأمین‌کنندگان ممکن است از امکانات لجستیکی مناسب بهره‌مند نباشند، لذا ممکن است انتعطاف‌پذیری در بارگیری کاهش یابد و منجر به اتفاق زمان شود.

- موقعیت مکانی برخی قطعه‌سازان ممکن است به گونه‌یی باشد که امکان تردد خودروی سنگین به مکان آنها وجود نداشته باشد.

- آماده نبودن برای تأخیر در بارگیری.

- با توجه به این نکته که تأمین‌کنندگانی که در سیستم لجستیک میلکران محموله‌ی خود را در یک خودروی حامل مشترک تحویل می‌دهند باید از نظر موقعیت جغرافیایی نزدیک به یکدیگر باشند، ممکن است به علت تعدد مراجعه خودروی حامل به محل تأمین‌کنندگان، شرکت تراپری که بتواند مسئولیت حمل قطعات را بر عهده گیرد به سختی قبول مسئولیت کند.

- اجرای سیستم لجستیک میلکران نیازمند وجود یک سیستم یک پارچه برای هماهنگی و اطلاع‌رسانی به تأمین‌کنندگان برای آماده‌سازی محموله‌های تحویلی و زمان مراجعه خودروی حامل به محل آنهاست.

شود. نتایج این تحقیق می‌تواند مدیران را در صنعت خودرو سازی و سایر صنایع مشابه، برای استفاده از تکنیک‌های تحقیق در عملیات قانع کند.

۱. محدودیت‌های تحقیق

- اگرچه استفاده از منطق SC2DL به صرفه‌تر از منطق مورد استفاده توسعه اداره لجستیک سایپاست، کاربرد آن در عمل پیچیده‌تر بوده و نیازمند آن است که با رگری سفارشات درون خودروی حامل دقیقاً مشابه با آنچه که برنامه‌ریزی شده است باشد. در غیر این صورت، چیدمان بار درون خودروی حامل ممکن است در عمل نشدنی باشد.

- نکته‌ی دیگری که در عمل با آن مواجه‌ایم، مفهوم ممنوع بودن جایه‌جایی برآست. به این معنی که پالت‌ها نباید پس از بارگیری درون خودروی حامل و پیش از تخلیه، جایه‌جایی ممکن است که برای اعمال شرایط منطق بارگیری SC2DL معرفی شدن، مانع از ممنوعیت جایه‌جایی بار نمی‌شوند.

- در رویکرد معرفی شده در این مقاله، بارگیری سفارشات با شکل چیدمان قابل تغییر درون خودروهای حامل، در فضای سه‌بعدی صورت می‌پذیرد. می‌توان این امر را چنین توجیه کرد که به صورت پیش‌فرض، خودروهای حامل تا ارتفاع مجاز شان توسعه پالت‌های انباسته شده بر یکدیگر، پر می‌شوند. بنابراین باید برای استفاده از فضای بارگیری دو بعدی روی کف خودروی حامل برنامه‌ریزی شود. هر چند ممکن است کاربردهای دیگری موجود باشد که در آنها بارگیری اقلام با شکل قابل تغییر در فضای سه‌بعدی مطرح شود.

۲. پیشنهاد تحقیقات آتی

- براساس آنچه در پیش محدودیت‌های تحقیق گفته شد، اضافه کردن محدودیت‌هایی برای ممنوع کردن جایه‌جایی بر تحت منطق SC2DL، می‌تواند یک جهت‌گیری تحقیقاتی ارزشمند در آینده باشد. اعمال این محدودیت در برنامه‌ریزی مسیر خودروی حامل، تأثیرگذار است. از این رو باید در الگوریتم حل، سازوکاری برای حفظ شدنی بودن جواب از منظر ممنوع کردن جایه‌جایی بر طراحی شود.

- رویکرد معرفی شده در این مقاله رامی توان برای بارگیری سفارشات با شکل چیدمان قابل تغییر در فضای سه‌بعدی مورد استفاده قرار داد. برای چنین کاربردهایی، محدودیت بارگیری ۲۷ و الگوریتم LFC در مدل برنامه‌ریزی خطی عدد صحیح مختلط و الگوریتم GES تطبیق پذیرند.

- اگرچه روش حل ارائه شده در این مقاله یک روش حل خاص منظوره، کارا و اثربخش است، با این حال استفاده از سایر روش‌های فرالابتکاری برای حل مسئله می‌تواند مورد توجه قرار گیرد. به علاوه، توسعه‌ی روش‌های حل دقیق مبتنی بر تکنیک‌های آزادسازی یا تجزیه نیز می‌تواند مورد توجه قرار گیرد.

۳. بینش‌های مدیریتی

در حال حاضر گروه خودروسازی سایپا با بیش از ۵۰۰ قطعه ساز داخلی همکاری می‌کند. تحقیقات نشان از آن دارند که هزینه‌های لجستیک داخلی مشتمل بر هزینه‌های حمل و نقل قطعات از سازنگان داخلی تا سایت‌های تولیدی، بسته‌بندی قطعات، خواب سرمایه ناشی از انباش قطعات، بهای فضای انبارها، تجهیزات و نیروی انسانی به کارگرفته شده، بین ۵ تا ۱۰ درصد ارزش هر خودرو است. هزینه‌ی

پابوشت‌ها

1. full truckload
2. less than truckload
3. pickup and delivery problem
4. unified load cube
5. Size Changeable 2 Dimensional Loading
6. best-fit algorithm
7. new solution generation
8. 2D single vehicle shape changeable order loading
9. 2D level single bin packing problem
10. best-fit decreasing
11. loading feasibility check

منابع (References)

1. Ghiani, G., Laporte, G. and Musmanno, R. "Introduction to logistics systems planning and control", *Igarss 2014. John Wiley & Sons* (2004).
2. Boysen, N., Emde, S., Hoeck, M. and et al. "Part logistics in the automotive industry: Decision problems, literature review and research agenda", *European Journal of Operational Research*, **242**, pp. 107-120 (2015).
3. Sadjadi, S.J., Jafari, M. and Amini, T. "A new mathematical modeling and a genetic algorithm search for milk run problem (an auto industry supply chain case study)", *International Journal of Advanced Manufacturing Technology*, **44**, pp. 194-200 (2009).
4. Kilic, H.S., Durmusoglu, M. B. and Baskak, M "Classification and modeling for in-plant milk-run distribution systems", *International Journal of Advanced Manufacturing Technology*, **62**, pp. 1135-1146 (2012).
5. Nemoto, T. and Rothengatter, W. "Efficient green logistics in urban areas: milk run logistics in the automotive industry", *In Sustainable Transport for Chinese Cities*, **3**, pp. 319-337 (2012).
6. Gyulai, D., Pfeiffer, A., Sobottka, T. and et al. "Milkrun vehicle routing approach for shop-floor logistics", *Procedia CIRP*, **7**, pp. 127-132 (2013).
7. Nemoto, T., Hayashi, K. and Hashimoto, M. "Milk-run logistics by Japanese automobile manufacturers in Thailand", *Procedia-Social and Behavioral Sciences*, **2**, pp. 5980-5989 (2010).
8. Hosseini, S.D., Shirazi, M. A. and Fatemi Ghomi, S. M T. "Harmony search optimization algorithm for a novel transportation problem in a consolidation network", *Engineering Optimization*, **46**, pp. 1538-1552 (2014).
9. Ranjbaran, F., Husseinzadeh Kashan, A. and Kazemi, A. "Mathematical formulation and heuristic algorithms for optimisation of auto-part milk-run logistics network considering forward and reverse flow of pallets", *International Journal of Production Research*, **58**, pp. 1741-1775 (2020).
10. Jafari-Eskandari, M., Sadjadi, S. J., Jabalameli, M. and et al. "A robust optimization approach for the milk run problem (An auto industry supply Chain case study)", *International Conference On Computers And Industrial Engineering*, CIE 2009, pp. 1076-1081 (2009).
11. Du, T., Wang F.K. and Lu, P. Y. "A real-time vehicle-dispatching system for consolidating milk runs", *Transportation Research Part E: Logistics and Transportation Review*, **43**, pp. 565-577 (2007).
12. Chuah, H. H. and Yingling, J. C. "Routing for a just-in-time supply pickup and delivery system", *Transportation Science*, **39**, pp. 328-339 (2005).
13. Parragh S. N., Doerner, K. F. and Hartl, R. F. "A survey on pickup and delivery problems: part I: transportation between customers and depot", *Journal fur Betriebswirtschaft*, **58**, pp. 21-51 (2008).
14. Parragh, S. N., Doerner, K. F. and Hartl, R. F. "A survey on pickup and delivery problems: part II: transportation between pickup and delivery locations", *Journal fur Betriebswirtschaft*, **58**, pp. 81-117 (2008).
15. Berbeglia, G., Cordeau, J. F., Gribkovskaia, I. and et al. "Static pickup and delivery problems: a classification scheme and survey", *Top*, **15**, pp. 1-31 (2007).
16. Berbeglia, G., Cordeau, J. F. and Laporte, G. "Dynamic pickup and delivery problems", *European Journal of Operational Research*, **202**, pp. 8-15 (2010).
17. Li, H. and Lim, A. "A metaheuristic for the pickup and delivery problem with time windows", *International Journal on Artificial Intelligence Tools*, **12**, pp. 173-186 (2003).
18. Hosny, M. I. and Mumford, C. L. "The single vehicle PDPTW: intelligent operators for heuristic and metaheuristic algorithms", *Journal of Heuristics*, **16**, pp. 417-439 (2010).
19. Lim, A., Zhang, Z. and Qin, H. "Pickup and delivery service with manpower planning in Hong Kong public hospitals", *Transportation Science*, **51**, pp. 688-705 (2010).
20. Abbasi-Pooya, A. and Husseinzadeh Kashan, A. "New mathematical models and a hybrid grouping evolution strategy algorithm for optimal helicopter routing and crew pickup and delivery", *Computers and Industrial Engineering*, **112**, pp. 35-56 (2017).
21. Nguyen, P. K., Crainic, T. G. and Toulouse, M. "Multi-trip pickup and delivery problem with time windows and synchronization", *Annals of Operations Research*, **253**, pp. 899-934 (2017).
22. Qu, Y. and Bard, J. F. "The heterogeneous pickup and delivery problem with configurable vehicle capacity", *Transportation Research Part C: Emerging Technologies*, **32**, pp. 1-20 (2013).
23. Bettinelli, A., Ceselli, A. and Righini, G. "A branch-and-price algorithm for the multi-depot heterogeneous-fleet pickup and delivery problem with soft time windows", *Mathematical Programming Computation*, **6**, pp. 171-197 (2014).
24. Avci, M. and Topaloglu, S. "A hybrid metaheuristic algorithm for heterogeneous vehicle routing problem with simultaneous pickup and delivery". *Expert Systems with Applications*, **53**, pp. 160-171 (2016).
25. Soleimani, H., Chaharlang, Y. and Ghaderi, H. "Collection and distribution of returned-remanufactured products in a vehicle routing problem with pickup and delivery considering sustainable and green criteria", *Journal of Cleaner Production*, **172**, pp. 960-970 (2018).

26. Ceselli, A., Righini, G. and Salani, M. "A column generation algorithm for a rich vehicle-routing problem", *Transportation Science*, **43**, pp. 56-69 (2009).
27. Subramanian, A., Uchoa E. and Ochi, L. S. "New lower bounds for the vehicle routing problem with simultaneous pickup and delivery", *In International Symposium on Experimental Algorithms*, Springer, pp. 276-287 (2010).
28. Mu, D., Wang, C., Zhao, F. and et al. "Solving vehicle routing problem with simultaneous pickup and delivery using parallel simulated annealing algorithm", *International Journal of Shipping and Transport Logistics*, **8**, pp. 81-106 (2016).
29. Detti, P., Papalini, F. and de Lara, G. Z. M. "A multi-depot dial-a-ride problem with heterogeneous vehicles and compatibility constraints in healthcare", *Omega*, **70**, pp. 1-14 (2017).
30. Bula, G. A., Prodhon, C., Gonzalez, F. A. and et al. "Variable neighborhood search to solve the vehicle routing problem for hazardous materials transportation", *Journal of Hazardous Materials*, **324**, pp. 472-480 (2017).
31. Zhou, L., Baldacci, R., Vigo, D. and et al. "A multi-depot two-echelon vehicle routing problem with delivery options arising in the last mile distribution", *European Journal of Operational Research*, **265**, pp. 765-778 (2018).
32. Fernández Cuesta, E., Andersson, H., Fagerholt, K. and et al. "Vessel routing with pickups and deliveries: An application to the supply of offshore oil platforms", *Computers and Operations Research*, **79**, pp. 140-147 (2017).
33. Dragomir, A. G., Nicola, D., Soriano, A. and et al. "Multidepot pickup and delivery problems in multiple regions: a typology and integrated model", *International Transactions in Operational Research*, **25**, pp. 569-597 (2018).
34. Niu, Y., Yang, Z., Chen, P. and et al. "Optimizing the green open vehicle routing problem with time windows by minimizing comprehensive routing cost", *Journal of Cleaner Production*, **171**, pp. 962-971 (2018).
35. Alinaghian, M. and Shokouhi, N. "Multi-depot multi-compartment vehicle routing problem, solved by a hybrid adaptive large neighborhood search", *Omega*, **76**, pp. 85-99 (2018).
36. Wei, L., Zhang, Z., Zhang, D. and et al. "A simulated annealing algorithm for the capacitated vehicle routing problem with two-dimensional loading constraints", *European Journal of Operational Research*, **265**, pp. 843-859 (2018).
37. Belgin, O., Karaoglan, I. and Altiparmak, F. "Two-echelon vehicle routing problem with simultaneous pickup and delivery: mathematical model and heuristic approach". *Computers and Industrial Engineering*, **115**, pp. 1-16 (2018).
38. López-Sánchez, A.D., Hernández-Díaz, A.G., Gortázar, F. et al. "A multiobjective GRASP-VND algorithm to solve the waste collection problem", *International Transactions in Operational Research*, **25**, pp. 545-567 (2018).
39. Scheffler, M., Hermann, C. and Kasper, M. "Splitting procedure of genetic algorithm for column generation to solve a vehicle routing problem", *In Fink A, Fügenschuh A, Geiger M. J (eds) Operations Research Proceedings, Springer International Publishing*, pp. 321-328 (2018).
40. Mak-Hau, V., Moser, I. and Aleti, A. "An exact algorithm for the heterogeneous fleet vehicle routing problem with time windows and three-dimensional loading constraints", *In Sarker, R. et al. (eds) Data and Decision Sciences in Action, Springer International Publishing*, pp. 91-101 (2018).
41. Hojabri, H., Gendreau, M., Potvin, J. P. and et al. "Large neighborhood search with constraint programming for a vehicle routing problem with synchronization constraints", *Computers & Operations Research*, **92**, pp. 87-97 (2018).
42. Rahbari, A., Nasiri, M. M., Werner, F. and et al. "The vehicle routing and scheduling problem with cross-docking for perishable products under uncertainty: two robust bi-objective models", *Applied Mathematical Modelling*, **70**, pp. 605-625 (2019).
43. Beraldi, P., De Maio, A., Laganà, D. and et al. "A pick-up and delivery problem for logistics e-marketplace services", *Optimization Letters*, <https://doi.org/10.1007/s11590-019-01472-3> (2019).
44. Sitek, P., Wikarek, J., Rutczynska-Wdowiak, K. and et al. "Optimization of capacitated vehicle routing problem with alternative delivery, pick-up and time windows: A modified hybrid approach", *Neurocomputing*, **423**, pp. 670-678 (2021).
45. Aziez, I., Cote, J. F. and Coelho, L. C. "Exact algorithms for the multi-pickup and delivery problem with time windows", *European Journal of Operational Research*, **284**, pp. 906-919 (2020).
46. Bernal, J., Escobar, J. W. and Linfati, R. "A simulated annealing-based approach for a real case study of vehicle routing problem with a heterogeneous fleet and time windows", *International Journal of Shipping and Transport Logistics*, **13**, pp. 185-204 (2021).
47. Wang, Y., Li, Q., Guan, X. and et al. "Collaborative multi-depot pickup and delivery vehicle routing problem with split loads and time windows", *Knowledge-Based Systems*, **231**, 107412 (2021).
48. Ancele, Y., Hoàng Hà, M., Lersteau, C. and et al. "Toward a more flexible VRP with pickup and delivery allowing consolidations", *Transportation Research Part C: Emerging Technologies*, **128**, 103077 (2021).
49. Park, H., Son, D., Koob, B. and et al. "Waiting strategy for the vehicle routing problem with simultaneous pickup and delivery using genetic algorithm", *Expert Systems with Applications*, **165**, 113959 (2021).
50. Salazar-González, j.j. "The pickup and delivery problem with split loads and transshipments: A branch-and-cut solution approach", *European Journal of Operational Research*, **289**, pp. 470-484 (2021).
51. Olgun, B., Koç, Ç. and Altiparmak, F. "A hyper heuristic for the green vehicle routing problem with simultaneous pickup and delivery", *Computers & Industrial Engineering*, **153**, 107010 (2021).
52. Husseinzadeh Kashan, A., Akbari, A. A. and Ostadi, B. "Grouping evolution strategies: An effective approach for

- grouping problems”, *Applied Mathematical Modelling*, **39**, pp. 2703-2720 (2015).
53. Husseinzadeh Kashan, A., Husseinzadeh Kashan, M. and Karimiyani, S. “A particle swarm optimizer for grouping problems”. *Information Sciences*, **252**, pp. 81-95 (2013).
54. Husseinzadeh Kashan, A., Jenabi, M. and Husseinzadeh Kashan, M. “A new solution approach for grouping problems based on evolution strategies”, *In 2009 International Conference of Soft Computing and Pattern Recognition*, pp. 88-93 (2009).